

บทที่ 5

การทดสอบความแม่นยำในการเคลื่อนที่ของแต่ละแกนและการเปรียบเทียบผลการวัด

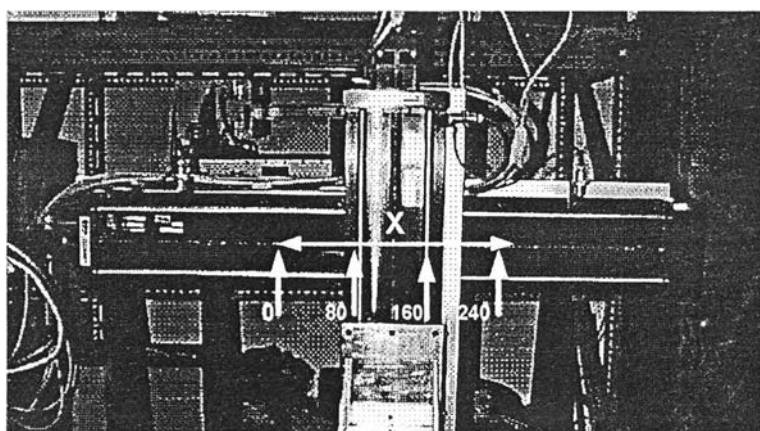
ต่อไปเป็นการทดสอบความแม่นยำในการเคลื่อนที่และการวัดชิ้นงาน การทดสอบจะแบ่งเป็นการทดสอบความแม่นยำในการเคลื่อนที่ของแกน x, y, z และแกนที่ 4 และการทดสอบการทำงานของแกนทั้ง 3 และ 4 แกน ซึ่งจะได้แสดงผลที่ได้ทำการทดสอบไปแล้วดังนี้

5.1 ผลของการทดสอบความแม่นยำของการควบคุม แกน X, แกน Y และแกน Z

ในหัวข้อนี้เราจะทำการทดสอบความแม่นยำของเครื่องวัด CMM โดยพิจารณาแกนทั้ง 3 คือ แกน X แกน Y และแกน Z เคลื่อนที่ทีละแกน เพื่อดูความแม่นยำของระบบควบคุม และ Alignment ของตัวโครงสร้างของเครื่อง CMM ที่สร้างขึ้น

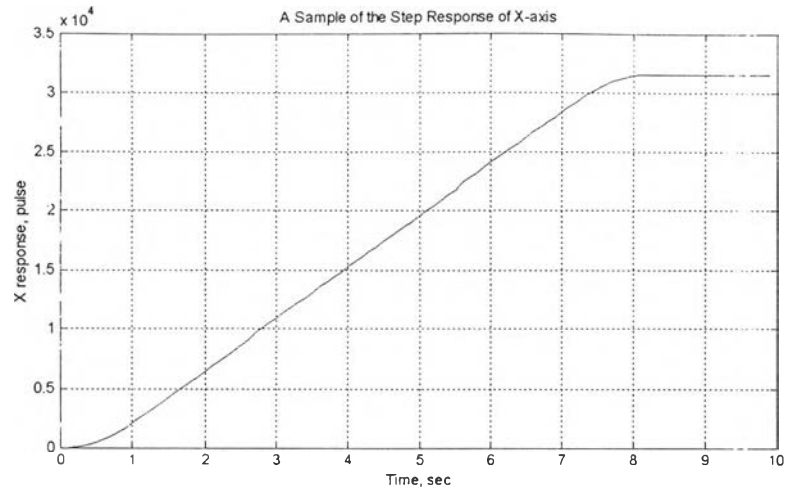
การทดสอบจะทดสอบในช่วงระยะทางที่โต๊ะทำงานกล่าวคือเหนือที่จับชิ้นงานซึ่งมีขนาด 250x250 mm. โดยแต่ละแกนจะแบ่งออกเป็น 3 ช่วง แต่ละช่วงจะมีระยะทางการเคลื่อนที่ 80 mm. แต่เนื่องจากการเคลื่อนที่ 1 mm. จะมีค่าเท่ากับ 395 pulse ดังนั้นเคลื่อนที่ 80 mm. จึงเท่ากับ 31600 pulse คำสั่งที่ป้อนเข้าไปยังระบบควบคุมจะเป็นคำสั่ง Step function และทำการวัดหาค่า 2% settling time ด้วย

ทดสอบแกน X



รูปที่ 5.1ก) แสดงระยะทางในการทดสอบการเคลื่อนที่แกน X

ช่วงระหว่าง 0-80 mm. (80 mm. = 31600 pulse) ของแกน X (* F = Forward, R = Reverse) ทำการทดลองทั้งหมด 20 ครั้ง ตัวอย่างผลการตอบสนองแสดงไว้ในรูปที่ 5.2 ตารางที่ 5.1 เป็นตาราง



รูปที่ 5.2 แสดงตัวอย่างของ Step Response ของแกน X-axis ในช่วง 0-80 mm.

ตารางที่ 5.1 ผลการทดลองเคลื่อนที่แกน X ในช่วง 0-80 mm. ทดลองทั้งสิ้น 20 ครั้ง

No.*	Starting Point	Measured End Point	Desired Travelling End Point	Steady State Error**	2% Setting Time (Sec)
1 F	1	31600	31601	1	7.7
2 R	0	-31599	-31600	-1	7.7
3 F	1	31600	31601	1	7.7
4 R	0	-31599	-31600	-1	7.7
5 F	1	31599	31601	2	7.8
6 R	-1	-31599	-31601	-2	7.7
7 F	1	31600	31601	1	7.7
8 R	0	-31599	-31600	-1	7.8
9 F	1	31600	31601	1	7.8
10 R	0	-31599	-31600	-1	7.7
11 F	1	31599	31601	2	7.7
12 R	0	-31599	-31600	-1	7.8
13 F	1	31600	31601	1	7.8
14 R	0	-31599	-31600	-1	7.7
15 F	1	31600	31601	1	7.7
16 R	0	-31599	-31600	-1	7.8
17 F	1	31600	31601	1	7.7
18 R	0	-31599	-31600	-1	7.8
19 F	1	31600	31601	1	7.7

No.*	Starting Point	Measured End Point	Desired Travelling End Point	Steady State Error**	2% Setting Time (Sec)
20 R	0	-31599	-31600	-1	7.8

(* F = Forward, R = Reverse)

(** - = reverse direction, + = forward direction)

ช่วงระหว่าง 80-160 mm. (80 mm. = 31600 pulse) ของแกน X (* F = Forward, R = Reverse) ทำการทดลองทั้งหมด 20 ครั้ง ผลที่ได้แสดงไว้ในตารางที่ 5.2 จะเห็นว่าค่า steady state error ที่วัดได้จะอยู่ในช่วง 5-6 pulses หรือน้อยกว่าที่ต้องการไปถึง 5-6 pulses โดยที่เวลา Settling time มีค่าประมาณ 7.7 sec

ตารางที่ 5.2 ผลการทดลองเคลื่อนที่แกน X ในช่วง 80-160 mm. ทดลองทั้งสิ้น 20 ครั้ง

No.*	Starting Point	Measured End Point	Desired Travelling End Point	Steady State Error**	2% Setting Time (Sec)
1 F	0	31598	31600	2	7.7
2 R	-2	-31597	-31602	-5	7.7
3 F	3	31598	31603	5	7.8
4 R	-2	-31597	-31602	-5	7.7
5 F	3	31598	31603	5	7.7
6 R	-2	-31596	-31602	-6	7.7
7 F	3	31598	31603	5	7.8
8 R	-2	-31597	-31602	-5	7.7
9 F	3	31598	31603	5	7.8
10 R	-2	-31597	-31602	-5	7.7
11 F	3	31598	31603	5	7.7
12 R	-2	-31596	-31602	-6	7.7
13 F	4	31598	31604	6	7.7
14 R	-2	-31596	-31602	-6	7.7
15 F	4	31598	31604	6	7.7
16 R	-2	-31597	-31602	-5	7.8
17 F	3	31598	31603	5	7.7
18 R	-2	-31596	-31602	-6	7.7
19 F	4	31598	31604	6	7.7
20 R	-2	-31597	-31602	-5	7.7

(* F = Forward, R = Reverse)

(** - = reverse direction, + = forward direction)

ช่วงระหว่าง 160-240 mm. (80 mm. = 31600 pulse) ของแกน X (* F = Forward, R = Reverse) ทำการทดลองทั้งหมด 20 ครั้ง ผลที่ได้แสดงไว้ในตารางที่ 5.3 จะเห็นว่าค่า steady state error ที่วัดได้จะอยู่ในช่วง 2-3 pulses หรือน้อยกว่าที่ต้องการไปถึง 2-3 pulses โดยที่เวลา Settling time มีค่าประมาณ 7.7 sec

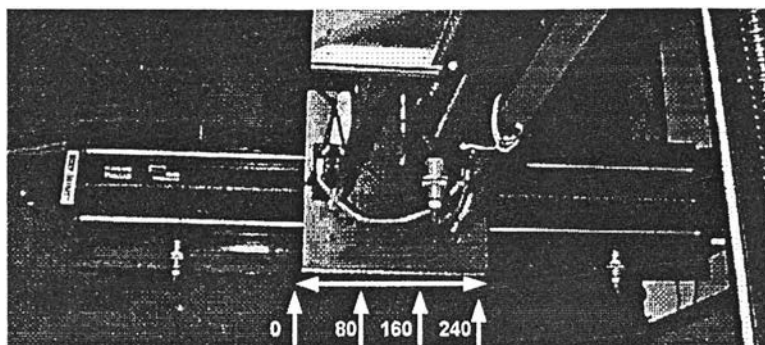
ตารางที่ 5.3 ผลการทดลองเคลื่อนที่แกน X ในช่วง 160-240 mm. ทดลองทั้งสิ้น 20 ครั้ง

No.*	Starting Point	Measured End Point	Desired Travelling End Point	Steady State Error**	2% Setting Time (Sec)
1 F	-2	31599	31598	1	7.7
2 R	-1	-31599	-31601	-2	7.7
3 F	-2	31599	31598	-1	7.7
4 R	-1	-31599	-31601	-2	7.7
5 F	1	31599	31601	+2	7.7
6 R	-1	-31598	-31601	-3	7.7
7 F	2	31599	31602	3	7.7
8 R	-1	-31599	-31601	-2	7.7
9 F	1	31599	31601	2	7.7
10 R	-1	-31599	-31601	-2	7.7
11 F	1	31599	31601	2	7.7
12 R	-1	-31598	-31601	-3	7.7
13 F	1	31599	31601	2	7.7
14 R	-1	-31599	-31601	-2	7.7
15 F	2	31599	31602	3	7.7
16 R	-1	-31598	-31601	-3	7.7
17 F	2	31599	31602	3	7.7
18 R	-1	-31598	-31601	-3	7.8
19 F	1	31599	31601	2	7.7
20 R	-1	-31599	-31601	-2	7.8

(* F = Forward, R = Reverse)

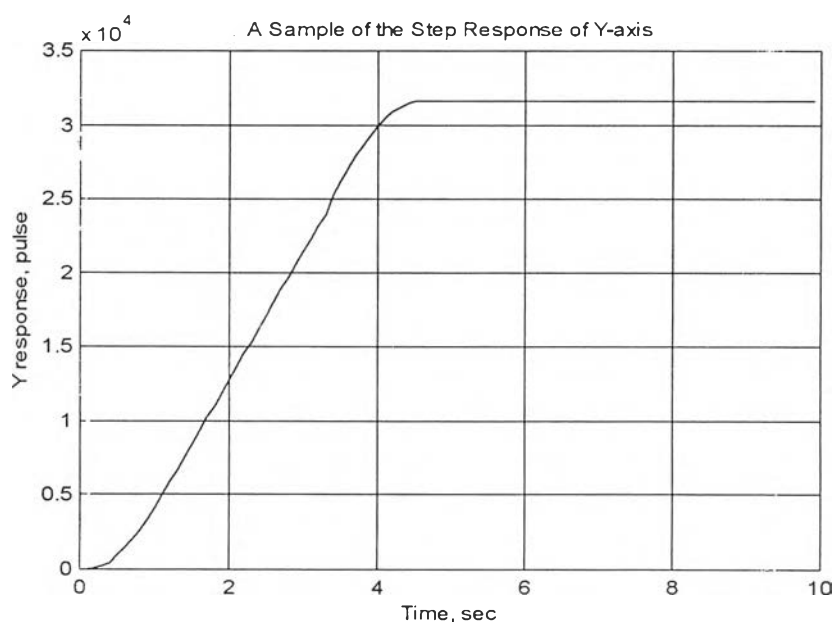
(** - = reverse direction, + = forward direction)

ทดสอบแกน Y



รูปที่ 5.1ข) แสดงระยะทางในการทดสอบการเคลื่อนที่แกน Y

ช่วงระหว่าง 0-80 mm. (80 mm. = 31600 pulse) ของแกน Y (* F = Forward, R = Reverse) ทำการทดลองทั้งหมด 20 ครั้ง ตัวอย่างผลการตอบสนองแสดงไว้ในรูปที่ 5.3 ตารางที่ 5.4 เป็นตารางสรุปผลการทดสอบที่ได้ จะเห็นว่าค่า steady state error ที่วัดได้จะอยู่ในช่วง ± 1 pulse หรือน้อยกว่าที่ต้องการไปถึง 1 pulse ช่วง steady state มีการแกว่งเล็กน้อย โดยที่เวลา Settling Time มีค่าประมาณ 4.3 sec



รูปที่ 5.3 แสดงตัวอย่างของ Step Response ของแกน Y-axis ในช่วง 0-80 mm.

ตารางที่ 5.4 ผลการทดลองเคลื่อนที่แกน Y ในช่วง 0-80 mm. ทดลองทั้งสิ้น 20 ครั้ง

No.*	Starting Point	Measured End Point	Desired Travelling End Point	Steady State Error**	2% Setting Time (Sec)
1 F	14	31614	31614	0	4.3
2 R	15	-31585,-31586	-31585	0,1	4.3

No.*	Starting Point	Measured End Point	Desired Travelling End Point	Steady State Error**	2% Setting Time (Sec)
3 F	14	31614,31615	31614	0,-1	4.3
4 R	15	-31585,-31586	-31585	0,1	4.3
5 F	15	31615,31614	31615	0,1	4.3
6 R	14	-31585	-31586	-1	4.3
7 F	14	31615,31614	31614	-1,0	4.4
8 R	15	-31585,-31586	-31585	0,1	4.3
9 F	15	31615,31614	31615	0,1	4.3
10 R	15	-31585,-31586	-31585	0,1	4.3
11 F	15	31615,31614	31615	0,1	4.4
12 R	15	-31585,-31586	-31585	0,1	4.3
13 F	15	31615,31614	31615	0,1	4.3
14 R	15	-31585,-31586	-31585	0,1	4.3
15 F	14	31614,31615	31614	0,-1	4.3
16 R	15	-31585,-31586	-31585	0,1	4.3
17 F	15	31615,31614	31615	0,1	4.3
18 R	14	-31586,-31585	-31586	0,-1	4.3
19 F	14	31614,31615	31614	0,-1	4.4
20 R	15	-31585,-31586	-31585	0,1	4.3

(* F = Forward, R = Reverse)

(** - = reverse direction, + = forward direction)

ช่วงระหว่าง 80-160 mm. (80 mm. = 31600 pulse) ของแกน Y (* F = Forward, R = Reverse) ทำการทดลองทั้งหมด 20 ครั้ง ผลที่ได้แสดงไว้ในตารางที่ 5.5 จะเห็นว่าค่า steady state error ที่วัดได้จะอยู่ในช่วง ± 1 pulse หรือน้อยกว่าที่ต้องการไปถึง 1 pulse ช่วง steady state มีการแกว่งเล็กน้อย โดยที่เวลา Settling Time มีค่าประมาณ 4.3 sec

ตารางที่ 5.5 ผลการทดลองเคลื่อนที่แกน Y ในช่วง 80-160 mm. ทดลองทั้งสิ้น 20 ครั้ง

No.*	Starting Point	Measured End Point	Desired Travelling End Point	Steady State Error**	2% Setting Time (Sec)
1 F	14	31614,31615	31614	0,1	4.3
2 R	15	-31585,-31586	-31585	0,1	4.3
3 F	15	31615,31614	31615	0,1	4.3

No.*	Starting Point	Measured End Point	Desired Travelling End Point	Steady State Error**	2% Setting Time (Sec)
4 R	15	-31585,-31586	-31585	0,1	4.3
5 F	14	31614,31615	31614	0,-1	4.3
6 R	15	-31585,-31586	-31585	0,1	4.3
7 F	15	31615,31614	31615	0,1	4.3
8 R	14	-31586,-31585	-31586	0,-1	4.3
9 F	15	31615,31614	31615	0,1	4.3
10 R	15	-31585,-31586	-31585	0,1	4.3
11 F	15	31615,31614	31615	0,1	4.3
12 R	15	-31585,-31586	-31585	0,1	4.3
13 F	15	31615,31614	31615	0,1	4.3
14 R	15	-31585,-31586	-31585	0,1	4.3
15 F	14	31614,31615	31614	0,-1	4.4
16 R	14	-31586,-31585	-31586	0,-1	4.3
17 F	14	31614,31615	31614	0,-1	4.3
18 R	15	-31585,-31586	-31585	0,1	4.3
19 F	15	31615,31614	31615	0,1	4.3
20 R	14	-31586,-31585	-31586	0,-1	4.3

(* F = Forward, R = Reverse)

(** - = reverse direction, + = forward direction)

ช่วงระหว่าง 160-240 mm. (80 mm. = 31600 pulse) ของแกน Y (* F = Forward, R = Reverse) ทำการทดลองทั้งหมด 20 ครั้ง ผลที่ได้แสดงไว้ในตารางที่ 5.6 จะเห็นว่าค่า steady state error ที่วัดได้จะอยู่ในช่วง ± 1 pulse หรือน้อยกว่าที่ต้องการไปถึง 1 pulse ช่วง steady state มีการแกว่งเล็กน้อย โดยที่เวลา Settling Time มีค่าประมาณ 4.3 sec

ตารางที่ 5.6 ผลการทดลองเคลื่อนที่แกน Y ในช่วง 160-240 mm. ทดลองทั้งสิ้น 20 ครั้ง

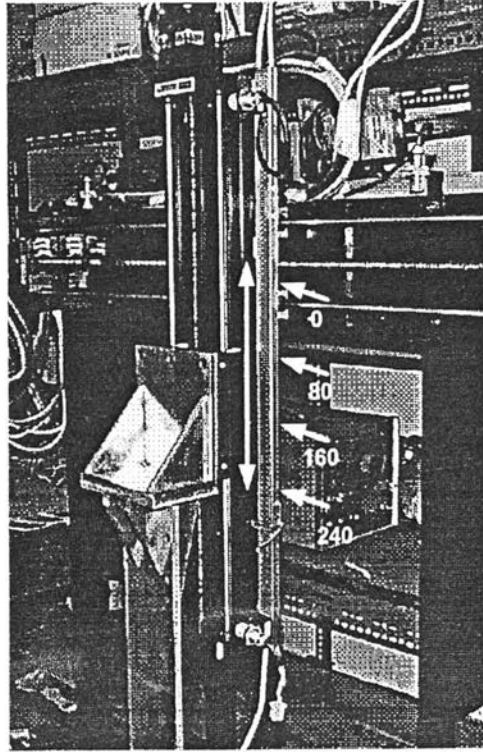
No.*	Starting Point	Measured End Point	Desired Travelling End Point	Steady State Error**	2% Setting Time (Sec)
1 F	15	31615,31614	31615	0,1	4.3
2 R	14	-31586,-31585	-31586	0,-1	4.3
3 F	15	31615,31614	31615	0,1	4.4
4 R	15	-31585,-31586	-31585	0,1	4.3

No.*	Starting Point	Measured End Point	Desired Travelling End Point	Steady State Error**	2% Setting Time (Sec)
5 F	15	31615,31614	31615	0,1	4.3
6 R	15	-31585,-31586	-31585	0,1	4.3
7 F	14	31614,31615	31614	0,-1	4.3
8 R	15	-31585,-31586	-31585	0,1	4.3
9 F	15	31615,31614	31615	0,1	4.3
10 R	14	-31586,-31585	-31586	0,-1	4.3
11 F	14	31614,31615	31614	0,-1	4.3
12 R	15	-31585,-31586	-31585	0,1	4.3
13 F	15	31614,31615	31614	0,-1	4.3
14 R	14	-31586,-31585	-31586	0,-1	4.3
15 F	14	31614,31615	31614	0,-1	4.3
16 R	14	-31586,-31585	-31586	0,-1	4.3
17 F	15	31615,31614	31615	0,1	4.3
18 R	15	-31585,-31586	-31585	0,1	4.3
19 F	15	31615,31614	31615	0,1	4.3
20 R	15	-31585,-31586	-31585	0,1	4.4

(* F = Forward, R = Reverse)

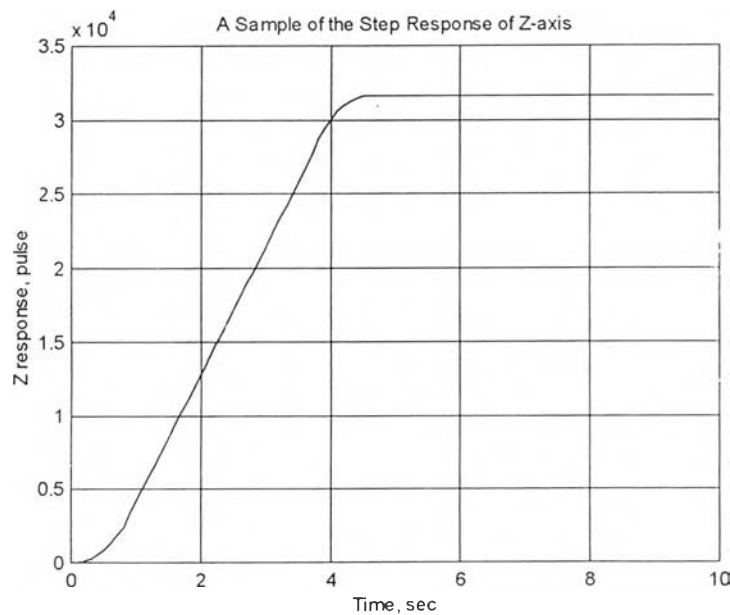
(** - = reverse direction, + = forward direction)

ทดสอบแกน Z



รูปที่ 5.4 แสดงระยะทางในการทดสอบการเคลื่อนที่แกน Z

ช่วงระหว่าง 0-80 mm. (80 mm. = 31600 pulse) ของแกน Z (* F = Forward, R = Reverse) ทำการทดลองทั้งหมด 20 ครั้ง ตัวอย่างผลการตอบสนองแสดงไว้ในรูปที่ 5.5 ตารางที่ 5.7 เป็นตารางสรุปผลการทดสอบที่ได้ จะเห็นว่าค่า steady state error ที่วัดได้จะอยู่ในช่วง ± 1 pulse หรือน้อยกว่าที่ต้องการไปถึง 1 pulse ช่วง steady state มีการแกว่งเล็กน้อย โดยที่เวลา Settling Time มีค่าประมาณ 4.3 sec



รูปที่ 5.5 แสดงตัวอย่างของ Step Response ของแกน Z-axis ในช่วง 0-80 mm.

ตารางที่ 5.7 ผลการทดลองเคลื่อนที่แกน Z ในช่วง 0-80 mm. ทดลองทั้งสิ้น 20 ครั้ง

No.*	Starting Point	Measured End Point	Desired Travelling End Point	Steady State Error**	2% Setting Time (Sec)
1 F	15	31615,31614	31615	0,1	4.3
2 R	15	-31585,-31586	-31585	0,1	4.3
3 F	15	31615,31614	31615	0,1	4.3
4 R	15	-31585,-31586	-31585	0,1	4.3
5 F	14	31614,31615	31614	0,-1	4.3
6 R	15	-31585,-31586	-31585	0,1	4.4
7 F	15	31615,31614	31615	0,1	4.3
8 R	15	-31585,-31586	-31585	0,1	4.3
9 F	15	31615,31614	31615	0,1	4.3
10 R	14	-31586,-31585	-31586	0,-1	4.3
11 F	14	31614,31615	31614	0,-1	4.3
12 R	15	-31585,-31586	-31585	0,1	4.3
13 F	14	31614,31615	31614	0,-1	4.3
14 R	14	-31586,-31585	-31586	0,-1	4.3
15 F	15	31615,31614	31615	0,1	4.3
16 R	14	-31586,-31585	-31586	0,-1	4.3
17 F	15	31615,31614	31615	0,1	4.3
18 R	14	-31586,-31585	-31586	0,-1	4.3
19 F	15	31615,31614	31615	0,1	4.3
20 R	15	-31585,-31586	-31585	0,1	4.3

(* F = Forward, R = Reverse)

(** - = reverse direction, + = forward direction)

ช่วงระหว่าง 80-160 mm. (80 mm. = 31600 pulse) ของแกน Z (* F = Forward, R = Reverse) ทำการทดลองทั้งหมด 20 ครั้ง ผลที่ได้แสดงไว้ในตารางที่ 5.8 จะเห็นว่าค่า steady state error ที่วัดได้จะอยู่ในช่วง ± 1 pulse หรือน้อยกว่าที่ต้องการไปถึง 1 pulse ช่วง steady state มีการแกว่งเล็กน้อย โดยที่เวลา Settling Time มีค่าประมาณ 4.3 sec

ตารางที่ 5.8 ผลการทดลองเคลื่อนที่แกน Z ในช่วง 80-160 mm. ทดลองทั้งสิ้น 20 ครั้ง

No.*	Starting Point	Measured End Point	Desired Travelling End Point	Steady State Error**	2% Setting Time (Sec)
1 F	14	31614,31615	31614	0,-1	4.3
2 R	15	-31585,-31586	-31585	0,1	4.3
3 F	15	31615,31614	31615	0,1	4.3
4 R	14	-31586,-31585	-31586	0,-1	4.3
5 F	15	31615,31614	31615	0,1	4.3
6 R	15	-31585,-31586	-31585	0,1	4.3
7 F	15	31615,31614	31615	0,1	4.3
8 R	14	-31586,-31585	-31586	0,-1	4.3
9 F	15	31615,31614	31615	0,1	4.3
10 R	15	-31585,-31586	-31585	0,1	4.3
11 F	15	31615,31614	31615	0,1	4.3
12 R	14	-31586,-31585	-31586	0,1	4.3
13 F	14	31614,31615	31614	0,-1	4.3
14 R	15	-31585,-31586	-31585	0,1	4.3
15 F	14	31614,31615	31614	0,-1	4.3
16 R	15	-31585,-31586	-31585	0,1	4.3
17 F	15	31615,31614	31615	0,1	4.4
18 R	14	-31586,-31585	-31586	0,-1	4.3
19 F	14	31614,31615	31614	0,-1	4.3
20 R	15	-31585,-31586	-31585	0,1	4.3

(* F = Forward, R = Reverse)

(** - = reverse direction, + = forward direction)

ช่วงระหว่าง 160-240 mm. (80 mm. = 31600 pulse) ของแกน Z (* F = Forward, R = Reverse) ทำการทดลองทั้งหมด 20 ครั้ง ผลที่ได้แสดงไว้ในตารางที่ 5.9 จะเห็นว่าค่า steady state error ที่วัดได้จะอยู่ในช่วง ± 1 pulse หรือน้อยกว่าที่ต้องการไปถึง 1 pulse ช่วง steady state มีการแกว่งเล็กน้อย โดยที่เวลา Settling Time มีค่าประมาณ 4.3 sec

ตารางที่ 5.9 ผลการทดลองเคลื่อนที่แกน Z ในช่วง 160-240 mm. ทดลองทั้งสิ้น 20 ครั้ง

No.*	Starting Point	Measured End Point	Desired Travelling End Point	Steady State Error**	2% Setting Time (Sec)
1 F	14	31614,31615	31614	0,-1	4.3
2 R	15	-31585,-31586	-31585	0,1	4.3
3 F	14	31614,31615	31614	0,-1	4.3
4 R	14	-31586,-31585	-31586	0,-1	4.4
5 F	15	31615,31614	31615	0,1	4.3
6 R	15	-31585,-31586	-31585	0,1	4.3
7 F	15	31615,31614	31615	0,1	4.3
8 R	14	-31586,-31585	-31586	0,1	4.3
9 F	14	31614,31615	31614	0,-1	4.3
10 R	15	-31585,-31586	-31585	0,1	4.3
11 F	15	31615,31614	31615	0,1	4.3
12 R	15	-31585,-31586	-31585	0,1	4.3
13 F	15	31615,31614	31615	0,1	4.3
14 R	14	-31586,-31585	-31586	0,-1	4.3
15 F	14	31614,31615	31614	0,-1	4.3
16 R	15	-31585,-31586	-31585	0,1	4.3
17 F	15	31615,31614	31615	0,1	4.3
18 R	15	-31585,-31586	-31585	0,1	4.3
19 F	14	31614,31615	31614	0,-1	4.3
20 R	15	-31585,-31586	-31585	0,1	4.3

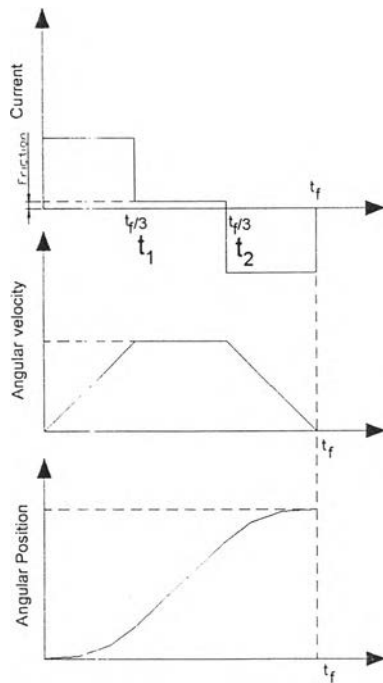
(* F = Forward, R = Reverse)

(** - = reverse direction, + = forward direction)

จะเห็นว่าแกน X เป็นแกนที่มีความผิดพลาดมากที่สุดโดยเฉพาะบริเวณช่วงกลางของแท่นจับชิ้นงาน ค่าอยู่ที่ประมาณ 0.0127 mm. หรือ 5 pulses ส่วนแกน Y และแกน Z นั้นค่าความผิดพลาดจะน้อยกว่า ค่าอยู่ที่ประมาณ 0.0025 mm

ผลการควบคุมแกนที่ 4

หัวข้อนี้จะทำการทดสอบเพื่อดูความแม่นยำในชุดระบบควบคุมแกนหมุนที่ 4 โดยจะทำการทดสอบทั้งเมื่อคำสั่งมุมที่สั่ง (θ_r) มีค่านขนาดเล็กคืออยู่ในช่วง $\pm 1^\circ$, $\pm 2^\circ$, $\pm 3^\circ$, $\pm 4^\circ$ และเมื่อคำสั่งมุ่มมีค่าสูงเช่นอยู่ในช่วง $\pm 5^\circ$, $\pm 10^\circ$, $\pm 20^\circ$.



Acceleration Period

$$\theta(t) = \frac{a_m t^2}{2}$$

Constant Velocity Period

$$\theta(t) = \theta_1(t) + V_m(t - t_1)$$

Deceleration Period

$$\theta(t) = \theta_2(t) + V_m(t - t_2) - \frac{a_m(t - t_2)^2}{2}$$

$$\theta_f(t) = \theta_2(t) + V_m t_1 - \frac{a_m t_2^2}{2} = V_m t_2$$

$$t_1 = \frac{V_m}{a_m} \quad t_2 = \frac{\theta_f}{V_m} \quad t_f = \frac{V_m}{a_m} + \frac{\theta_f}{V_m}$$

In Case of 1/3 duty circle

$$2t_1 = t_2; \quad \frac{2V_m}{a_m} = \frac{\theta_f}{V_m} \Rightarrow a_m = \frac{2V_m^2}{\theta_f}$$

รูปที่ 5.6 แสดงการสร้างสัญญาณ Profile จากคำสั่งอ้างอิงที่เป็น Step

รูปที่ 5.6 แสดงรูป Profile ที่ใช้สำหรับสร้างสัญญาณอ้างอิงจากสัญญาณคำสั่งที่มีลักษณะเป็น Step (เช่น 5°) การสร้างสัญญาณ Profile นี้จะช่วยให้สัญญาณผิดพลาดที่ได้จากผลต่างของคำสั่งอ้างอิงแบบ step และสัญญาณที่วัดได้จาก encoder มีค่าค่อยเป็นค่อยไป ถ้าเราใช้คำสั่งอ้างอิงที่เป็น Step โดยตรงเราจะได้สัญญาณผิดพลาดตอนช่วงเริ่มต้นเคลื่อนที่มีลักษณะแบบกระโดดเช่น สัญญาณอ้างอิง (5°) – สัญญาณที่วัดได้จาก encoder (0°) ซึ่งมีลักษณะกระโดดจาก 0 เป็น 5 ทำให้สัญญาณควบคุมที่คำนวณได้มีค่ากระโดดตามไปด้วย แต่ถ้าใช้สัญญาณ Profile ที่คำนวณได้จากรูปที่ 5.6 นี้จะได้สัญญาณที่ค่อยเป็นค่อยไป อย่างไรก็ตามการคำนวณหาค่าสัญญาณอ้างอิงจาก Profile ดังกล่าวนั้นเราจำเป็นต้องกำหนด ค่าตำแหน่งของการเคลื่อนที่ ความเร็วของการเคลื่อนที่และความเร่งของ Profile จึงจะคำนวณหาค่าได้ ถ้าเรากำหนดให้คำสั่งการเคลื่อนที่มีลักษณะเป็นแบบ 1/3 duty circle ดังแสดงในรูปที่ 5.6 เราก็คงจะลดค่าไปได้ 1 ค่าเช่นในกรณีนี้เรากำหนดเพียงเฉพาะตำแหน่งและความเร็วอ้างอิงเท่านั้น ในการเคลื่อนที่ที่มีมุมขนาดไม่มากนักอาจจะเป็นการยากและไม่คุ้นเคยที่จะกำหนดค่าความเร็วอ้างอิง เราจะทำการทดสอบความละเอียดของการควบคุมเปรียบเทียบทั้งแบบที่เป็น Profile และแบบไม่ใช่ Profile

ตารางที่ 5.10 ผลการทดลองเคลื่อนที่แกนที่ 4 คำสั่ง Step = 2° ทดลองทั้งสิ้น 10 ครั้ง

No.*	Reference Profile	Measured Start-End Point (Profile)	Measered Start-End (Point-to-Point)	Steady State Error**	2% Setting Time (Sec)
1 ccw	0.288-2.288	0.288-2.304	0.144-2.016	-0.016,0.128	0.18,0.05
2 cw	2.304-0.304	2.304-0.432	2.016-0.144	-0.128,0.128	0.1,0.05
3 ccw	0.432-2.432	0.432-2.448	0.144-2.016	-0.016,0.128	0.18,0.08
4 cw	2.448-0.448	2.448-0.432	2.016-0.144	0.016,0.128	0.12,0.05
5 ccw	0.432-2.432	0.432-2.448	0.144-2.016	-0.016,0.128	0.39,0.14
6 cw	2.448-0.448	2.448-0.432	2.016-0	0.016,-0.016	0.13,0.06
7 ccw	0.432-2.432	0.432-2.448	0-1.872	-0.016,0.128	0.4,0.05
8 cw	2.448-0.448	2.448-0.432	1.872- -0.144	0.016,-0.016	0.13,0.06
9 ccw	0.432-2.432	0.432-2.448	-0.144-1.872	-0.016,-0.016	0.06,0.1
10 cw	2.448-0.448	2.448-0.432	1.872-0	0.016,0.128	0.28,0.05

(* ccw = counter clock-wise, cw = clock-wise)

(** + = ccw direction, - = cw direction)

ตารางที่ 5.11 ผลการทดลองเคลื่อนที่แกนที่ 4 คำสั่ง Step = 3° ทดลองทั้งสิ้น 10 ครั้ง

No.*	Reference Profile	Measured Start-End Point (Profile)	Measered Start-End (Point-to-Point)	Steady State Error**	2% Setting Time (Sec)
1 ccw	0.432-3.432	0.432-3.312	0-3.024	0.12,-0.024	0.16,0.05
2 cw	3.312-0.312	3.312-0.288	3.024-0	0.024,-0.024	0.11,0.07
3 ccw	0.288-3.288	0.288-3.312	0-2.88	-0.024,0.12	0.74,0.07
4 cw	3.312-0.312	3.312-0.288	2.88-0	0.024,0.12	0.23,0.09
5 ccw	0.288-3.288	0.288-3.312	0,2.88	-0.024,0.12	0.38,0.19
6 cw	3.312-0.312	3.312-0.432	2.88-0	-0.12,0.12	0.43,0.21
7 ccw	0.432-3.432	0.432-3.312	0-2.88	0.12,0.12	0.07,0.12
8 cw	3.312-0.312	3.312-0.288	2.88-0	0.024,0.12	0.12,0.12
9 ccw	0.288-3.288	0.288-3.312	0-2.88	-0.024,0.12	0.24,0.06
10 cw	3.312-0.312	3.312-0.288	2.88-0	0.024,0.12	0.1,0.07

(* ccw = counter clock-wise, cw = clock-wise)

(** + = ccw direction, - = cw direction)

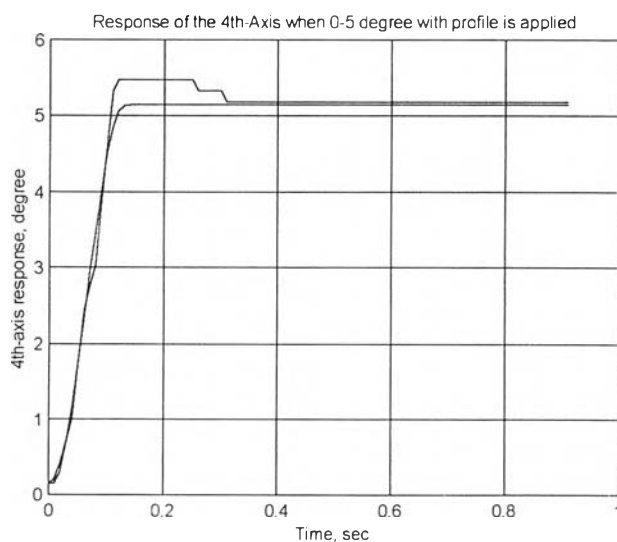
ตารางที่ 5.12 ผลการทดลองเคลื่อนที่แกนที่ 4 คำสั่ง Step = 4° ทดลองทั้งสิ้น 10 ครั้ง

No.*	Reference Profile	Measured Start-End Point (Profile)	Measured Start-End (Point-to-Point)	Steady State Error**	2% Setting Time (Sec)
1 ccw	0.288-4.288	0.288-4.32	0-3.888	-0.032,0.112	0.19,0.07
2 cw	4.32-0.32	4.32-0.432	3.888-0	-0.112,0.112	0.36,0.13
3 ccw	0.432-4.432	0.432-4.464	0-3.888	-0.032,0.112	0.23,0.08
4 cw	4.464-0.464	4.464-0.576	3.888-0	-0.112,0.112	0.1,0.08
5 ccw	0.576-4.576	0.576-4.608	0-3.888	-0.032,0.112	0.21,0.07
6 cw	4.608-0.608	4.608-0.72	3.888-0	-0.112,0.112	0.38,0.06
7 ccw	0.72-4.72	0.72-4.752	0-4.032	-0.032,-0.032	0.22,0.17
8 cw	4.752-0.752	4.752-0.864	4.032-0.144	-0.112,0.112	0.09,0.08
9 ccw	0.864-4.864	0.864-4.752	0.144-4.032	0.112,0.112	0.22,0.06
10 cw	4.752-0.752	4.752-0.72	4.032-0.144	0.032,0.112	0.34,0.07

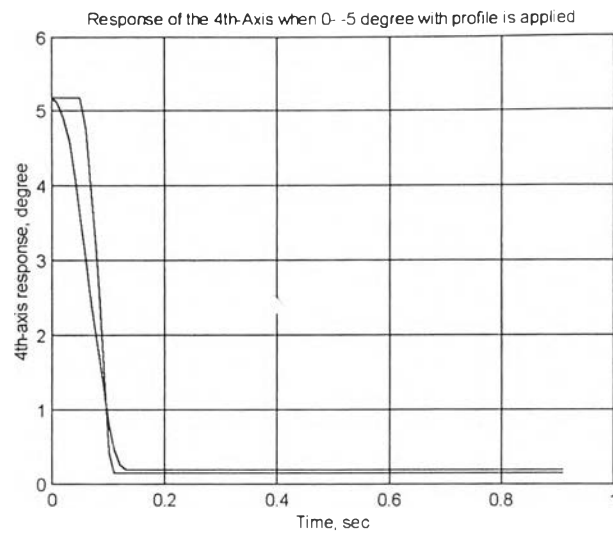
(* ccw = counter clock-wise, cw = clock-wise)

(** + = ccw direction, - = cw direction)

รูปที่ 5.7 แสดงผลการตอบสนองของระบบเมื่อ θ_r เป็น $\pm 5^{\circ}$, $\pm 10^{\circ}$, $\pm 15^{\circ}$, $\pm 20^{\circ}$ ตามลำดับ จะเห็นว่าเวลาที่ระบบให้ผลตอบสนองที่ต่างกันเนื่องจากระบบจริงๆ ไม่เป็นระบบเชิงเส้นแต่มีความไม่เป็นเชิงเส้นอยู่บ้าง



ก)



ข)

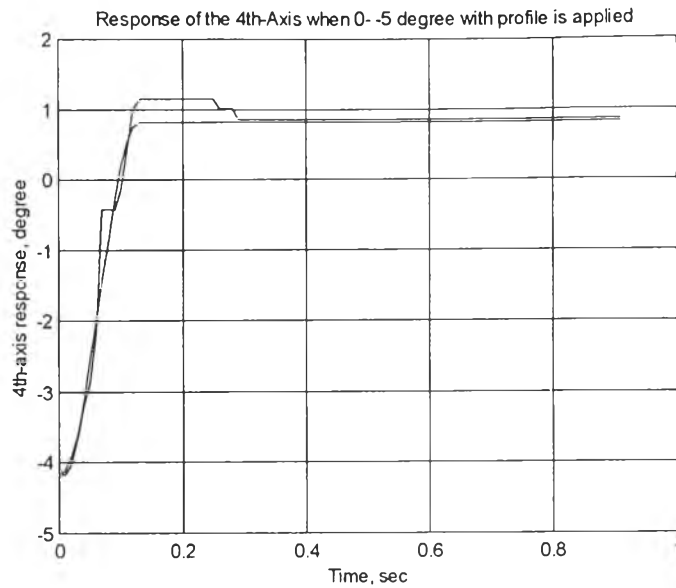
รูปที่ 5.7 แสดงตัวอย่าง Step Response ของแกนที่ 4 โดยใช้ Step = 0-5° ก) ccw ข) cw

ตารางที่ 5.13 ผลการทดลองเคลื่อนที่แกนที่ 4 คำสั่ง Step = 0-5° ทดลองทั้งสิ้น 10 ครั้ง

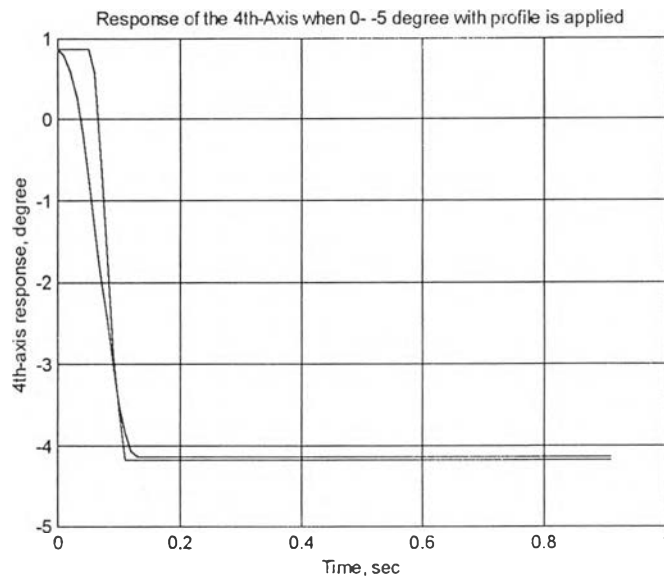
No.*	Reference Profile	Measured Start- End Point (Profile)	Steady State Error**	2% Setting Time (Sec)
1 ccw	1.296-6.296	1.296-6.192	0.104	0.12
2 cw	6.192-1.192	6.192-1.296	-0.104	0.11
3 ccw	1.296-6.296	1.296-6.336	-0.04	0.12
4 cw	6.336-1.336	6.336-1.296	0.04	0.41
5 ccw	1.296-6.296	1.296-6.192	0.104	0.12
6 cw	6.192-1.192	6.192-1.296	-0.104	0.43
7 ccw	1.296-6.296	1.296-6.192	0.104	0.24
8 cw	6.192-0.192	6.192-1.296	-0.104	0.15
9 ccw	1.296-6.296	1.296-6.192	0.104	0.28
10 cw	6.192-1.192	6.192-1.296	-0.104	0.45

(* ccw = counter clock-wise, cw = clock-wise)

(** + = ccw direction, - = cw direction)



ก)



ข)

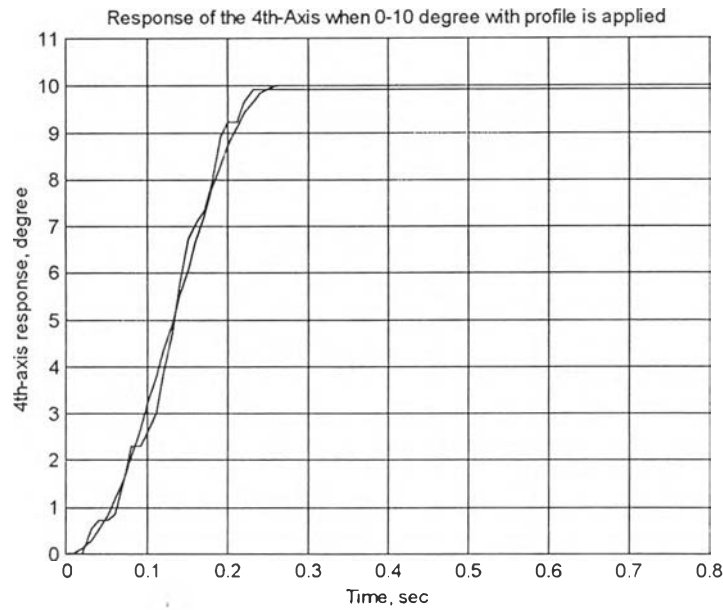
รูปที่ 5.8 แสดงตัวอย่าง Step Response ของแกนที่ 4 โดยใช้ Step = 0 - -5° ก) ccw ข) cw
ตารางที่ 5.14 ผลการทดลองเคลื่อนที่แกนที่ 4 คำสั่ง Step = 0 - -5° ทดลองทั้งสิ้น 10 ครั้ง

No.*	Reference Profile	Measured Start- End Point (Profile)	Steady State Error**	2% Setting Time (Sec)
1 ccw	1.584 - -3.416	1.584 - -3.456	0.04	0.25
2 cw	-3.456 - 1.544	-3.456 - 1.584	-0.04	0.3
3 ccw	1.584 - -3.416	1.584 - -3.456	0.04	0.3
4 cw	-3.416 - 1.544	-3.416 - 1.44	0.104	0.12
5 ccw	1.44 - -3.56	1.44 - -3.6	0.04	0.13
6 cw	-3.6 - 1.4	-3.6 - 1.296	0.104	0.22

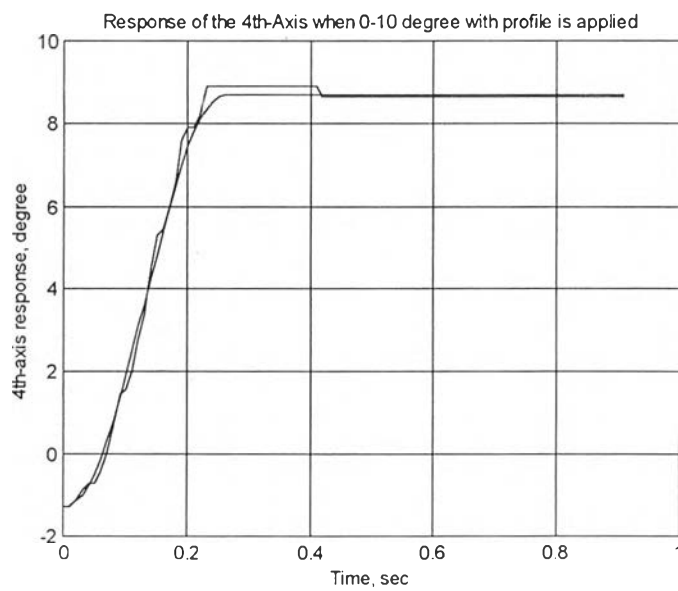
No.*	Reference Profile	Measured Start- End Point (Profile)	Steady State Error**	2% Setting Time (Sec)
7 ccw	1.296 - -3.704	1.296 - -3.6	-0.104	0.41
8 cw	-3.6 - 1.4	-3.6 - 1.44	-0.04	0.31
9 ccw	1.44 - -3.56	1.44 - -3.6	0.04	0.12
10 cw	-3.56 - 1.4	-3.56 - 1.44	-0.04	0.14

(* ccw = counter clock-wise, cw = clock-wise)

(** + = ccw direction, - = cw direction)



ก)



ข)

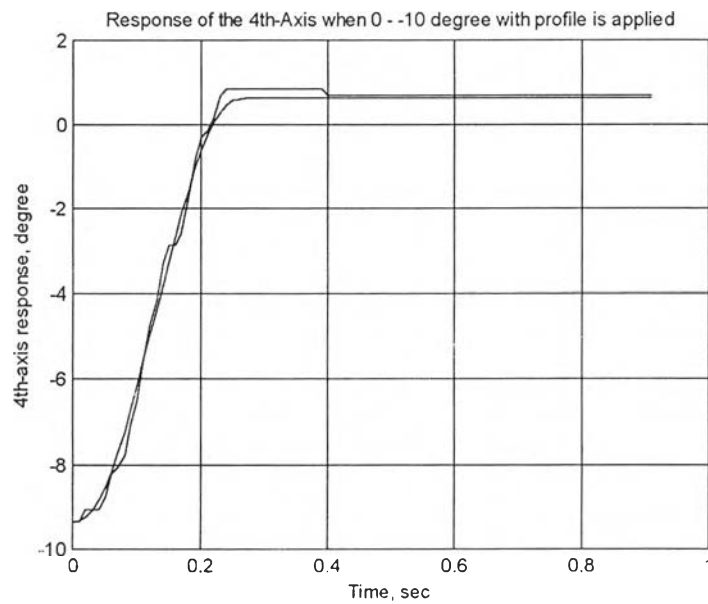
รูปที่ 5.9 แสดงตัวอย่าง Step Response ของแกนที่ 4 โดยใช้ Step = 0-10° ก) ccw ข) cw

ตารางที่ 5.15 ผลการทดลองเคลื่อนที่แกนที่ 4 คำสั่ง Step = 0-10° ทดลองทั้งสิ้น 10 ครั้ง

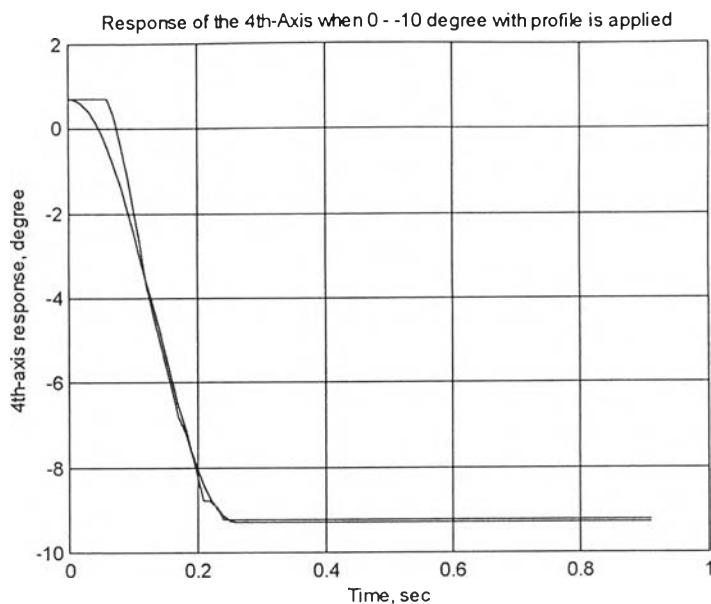
No.*	Reference Profile	Measured Start-End Point (Profile)	Steady State Error**	2% Setting Time (Sec)
1 ccw	1.296 – 11.296	1.296 – 11.232	0.064	0.23
2 cw	11.232 – 1.232	11.232 – 1.152	0.08	0.24
3 ccw	1.152 – 11.152	1.152 – 11.088	0.064	0.36
4 cw	11.088 – 1.088	11.088 - 1.152	-0.064	0.47
5 ccw	1.152 – 11.152	1.152 – 11.232	-0.08	0.24
6 cw	11.232 - 1.232	11.232 – 1.152	0.08	0.24
7 ccw	1.152 – 11.152	1.152 – 11.232	-0.08	0.35
8 cw	11.232 – 1.232	11.232 – 1.152	-0.08	0.24
9 ccw	1.152 – 11.152	1.152 – 11.376	-0.224	0.48
10 cw	11.232 – 1.232	11.232 – 1.152	0.08	0.48

(* ccw = counter clock-wise, cw = clock-wise)

(** + = ccw direction, - = cw direction)



ก)



ข)

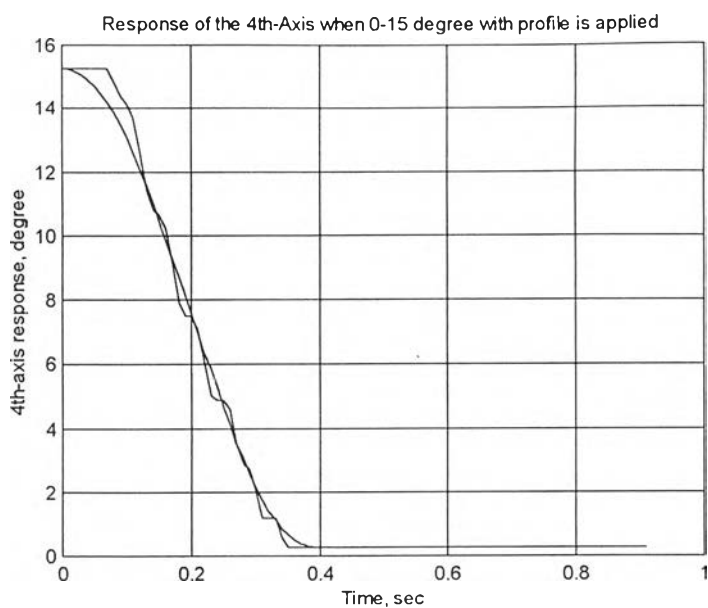
รูปที่ 5.10 แสดงตัวอย่าง Step Response ของแกนที่ 4 โดยใช้ Step = 0 - -10° ก) ccw ข) cw

ตารางที่ 5.16 ผลการทดลองเคลื่อนที่แกนที่ 4 คำสั่ง Step = 0 - -10° ทดลองทั้งสิ้น 10 ครั้ง

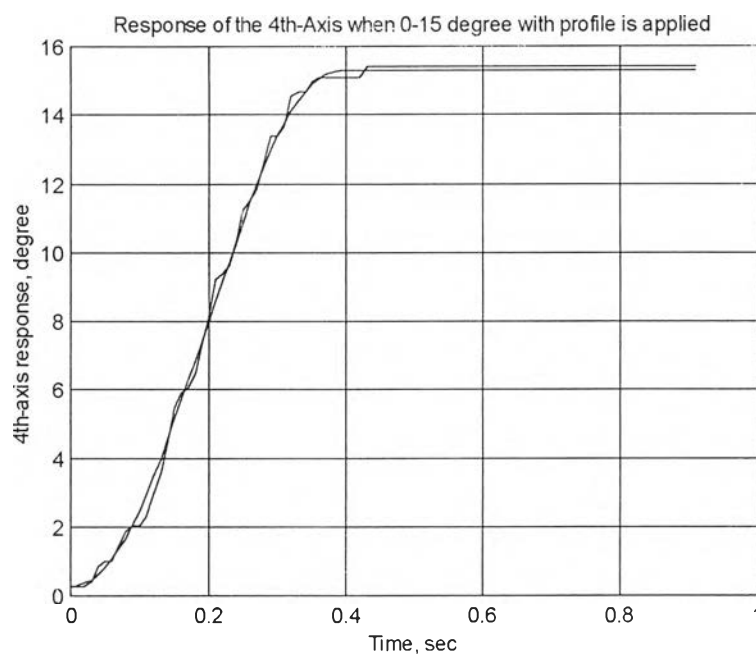
No.*	Reference Profile	Measured Start-End Point (Profile)	Steady State Error**	2% Setting Time (Sec)
1 ccw	1.44 - -8.56	1.44 - -8.496	-0.064	0.22
2 cw	-8.496 - 1.504	-8.496 - 1.44	0.064	0.4
3 ccw	1.44 - -8.56	1.44 - -8.64	0.08	0.35
4 cw	-8.64 - 1.36	-8.64 - 1.296	0.064	0.23
5 ccw	1.296 - -8.704	1.296 - -8.784	0.08	0.32
6 cw	-8.784 - 1.216	-8.784 - 1.296	-0.08	0.38
7 ccw	1.296 - -8.704	1.296 - -8.64	-0.064	0.34
8 cw	-8.64 - 1.36	-8.64 - 1.44	-0.08	0.45
9 ccw	1.44 - -8.56	1.44 - -8.64	0.08	0.48
10 cw	-8.64 - 1.36	-8.64 - 1.44	-0.08	0.37

(* ccw = counter clock-wise, cw = clock-wise)

(** + = ccw direction, - = cw direction)



ก)



ข)

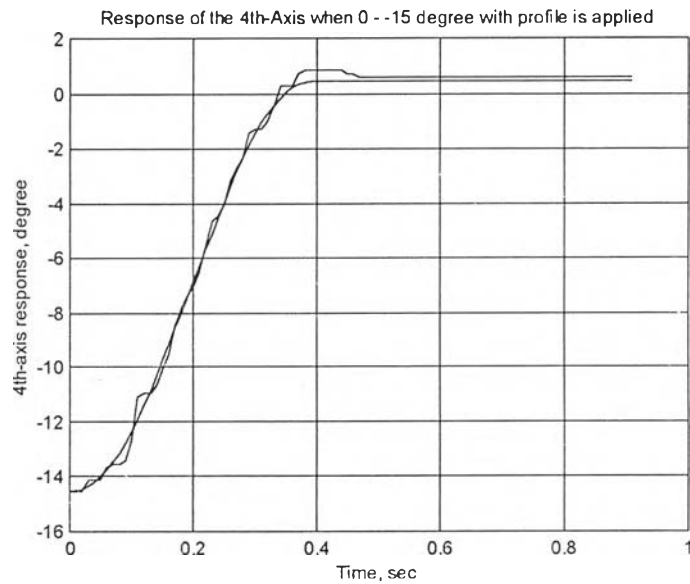
รูปที่ 5.11 แสดงตัวอย่าง Step Response ของแกนที่ 4 โดยใช้ Step = 0-15° ก) ccw ข) cw
ตารางที่ 5.17 ผลการทดลองเคลื่อนที่แกนที่ 4 คำสั่ง Step = 0-15° ทดลองทั้งสิ้น 10 ครั้ง

No.*	Reference Profile	Measured Start- End Point (Profile)	Steady State Error**	2% Setting Time (Sec)
1 ccw	1.152 – 16.152	1.152 – 16.128	0.024	0.35
2 cw	16.128 – 1.128	16.128 – 0.864	0.264	0.38
3 ccw	0.864 – 16.008	0.864 – 16.128	-0.12	0.44
4 cw	16.128 – 1.128	16.128 – 1.152	-0.024	0.37
5 ccw	1.152 – 16.152	1.152 – 16.128	0.024	0.35

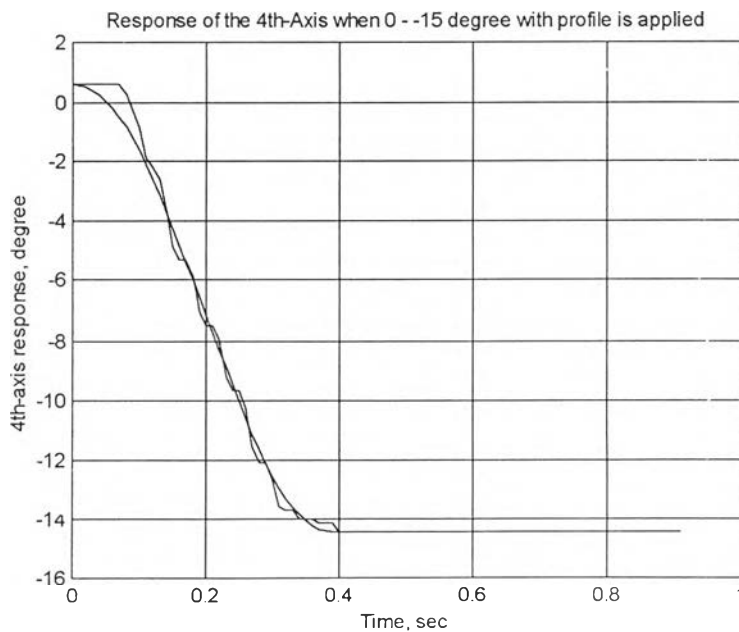
No.*	Reference Profile	Measured Start- End Point (Profile)	Steady State Error**	2% Setting Time (Sec)
6 cw	16.128 – 1.128	16.128 – 1.152	-0.024	0.36
7 ccw	1.152 – 16.152	1.152 – 16.272	-0.12	0.46
8 cw	16.272 – 1.272	16.272 – 1.296	-0.024	0.40
9 ccw	1.296 – 16.296	1.296 – 16.56	-0.264	0.45
10 cw	16.56 – 1.416	16.56 – 1.44	-0.024	0.36

(* ccw = counter clock-wise, cw = clock-wise)

** + = ccw direction, - = cw direction)



ก)



ข)

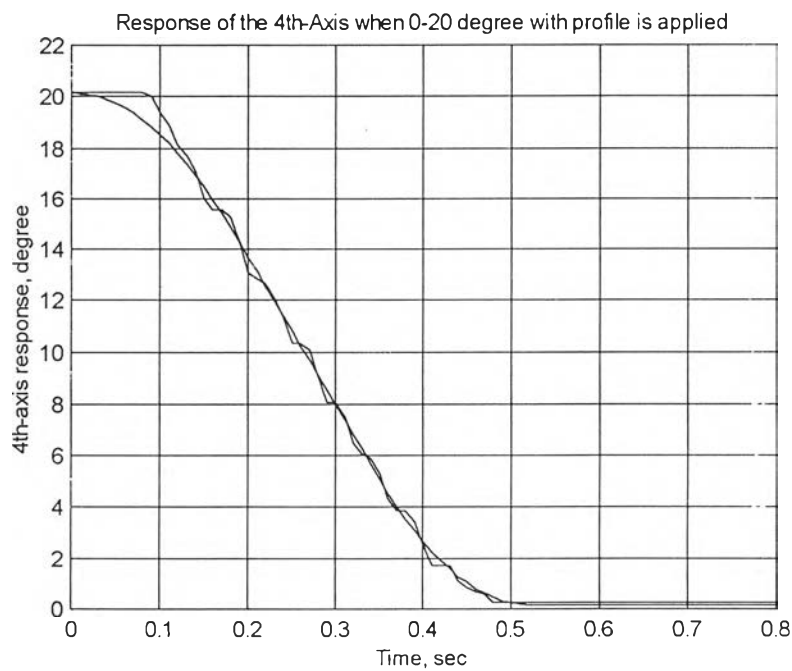
รูปที่ 5.12 แสดงตัวอย่าง Step Response ของแกนที่ 4 โดยใช้ Step = 0 - -15° ก) ccw ข) cw

ตารางที่ 5.18 ผลการทดลองเคลื่อนที่แกนที่ 4 คำสั่ง Step = 0 - -15° ทดลองทั้งสิ้น 10 ครั้ง

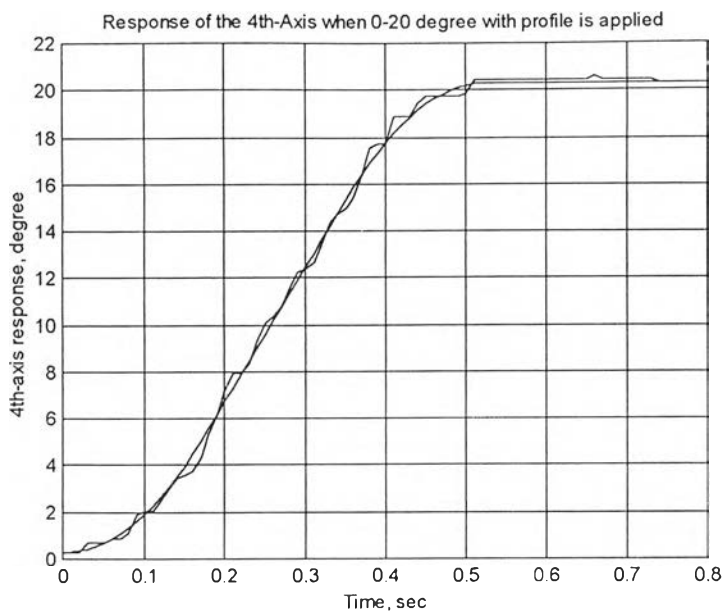
No.*	Reference Profile	Measured Start- End Point (Profile)	Steady State Error**	2% Setting Time (Sec)
1 ccw	1.44 - -13.56	1.44 - -13.392	-0.168	0.34
2 cw	-13.682 - 1.32	-13.682 - 1.584	-0.264	0.37
3 cw	-13.536 - 1.464	-13.536 - 1.728	-0.264	0.34
4 cw	-13.392 - 1.608	-13.392 - 1.728	-0.12	0.36
5 ccw	1.584 - -13.68	1.584 - -13.392	-0.298	0.34
6 cw	-13.392 - 1.608	-13.392 - 1.728	-0.12	0.36
7 cw	-13.248 - 1.752	-13.248 - 1.728	0.024	0.34
8 cw	-13.392 - 1.608	-13.392 - 1.728	-0.12	0.36
9 ccw	1.728 - -13.272	1.728 - -13.392	0.12	0.37
10 cw	-13.392 - 1.608	-13.392 - 1.728	-0.12	0.34

(* ccw = counter clock-wise, cw = clock-wise)

(** + = ccw direction, - = cw direction)



ก)



ข)

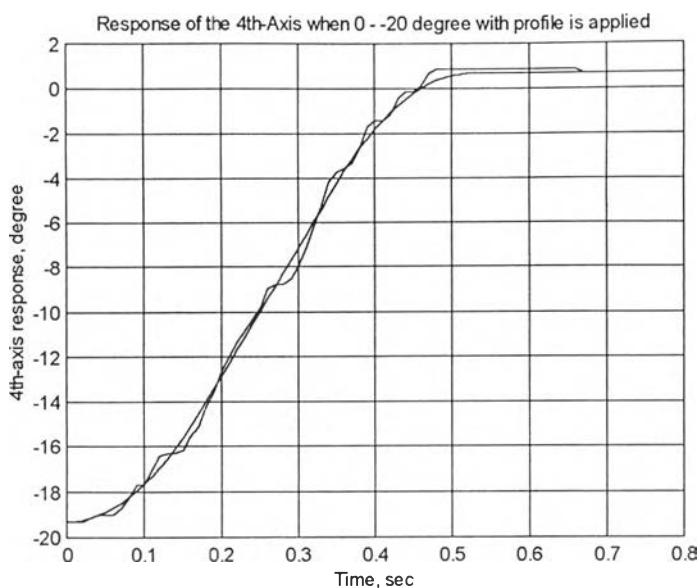
รูปที่ 5.13 แสดงตัวอย่าง Step Response ของแกนที่ 4 โดยใช้ Step = 0-20° ก) ccw ข) cw

ตารางที่ 5.19 ผลการทดลองเคลื่อนที่แกนที่ 4 คำสั่ง Step = 0-20° ทดลองทั้งสิ้น 9 ครั้ง

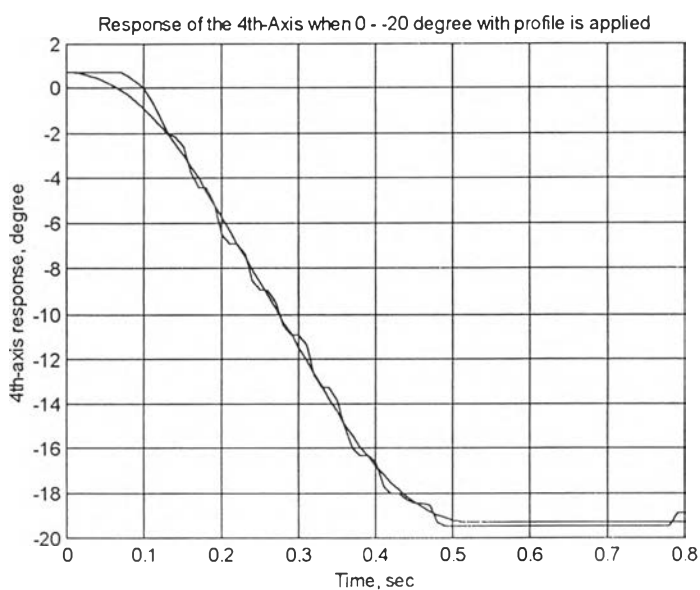
No.*	Reference Profile	Measured Start- End Point (Profile)	Steady State Error**	2% Setting Time (Sec)
1 ccw	1.44 – 21.44	1.44 – 21.6	-0.16	0.48
2 cw	21.456 – 1.456	21.456 – 1.44	0.016	0.49
3 cw	21.456 – 1.456	21.456 – 1.584	-0.128	0.46
4 ccw	1.584 – 21.584	1.584 – 21.456	0.128	0.47
5 cw	21.456 – 1.456	21.456 – 1.44	-0.016	0.47
6 ccw	1.44 – 21.44	1.44 – 21.312	0.132	0.47
7 cw	21.312 – 1.312	21.312 – 1.44	-0.128	0.48
8 ccw	1.44 – 21.144	1.44 – 21.456	-0.012	0.46
9 cw	21.456 – 1.456	21.456 – 1.584	-0.128	0.46

(* ccw = counter clock-wise, cw = clock-wise)

(** + = ccw direction, - = cw direction)



ก)



ข)

รูปที่ 5.14 แสดงตัวอย่าง Step Response ของแกนที่ 4 โดยใช้ Step = 0 - -20° ก) ccw ข) cw

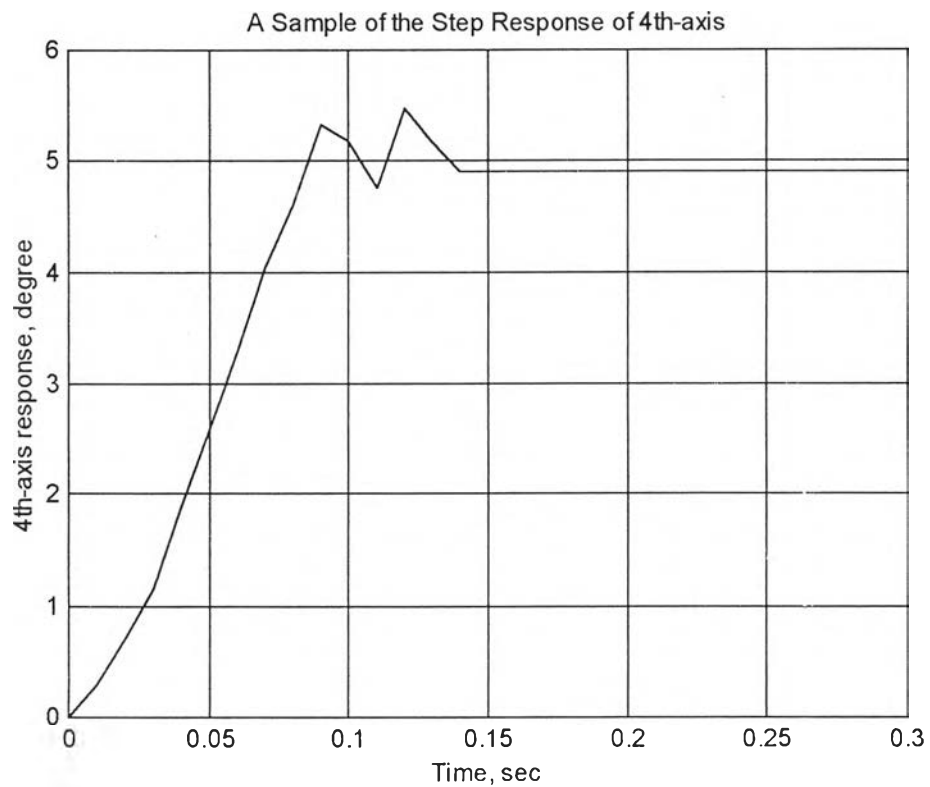
ตารางที่ 5.20 ผลการทดลองเคลื่อนที่แกนที่ 4 คำสั่ง Step = 0 - -20° ทดลองทั้งสิ้น 10 ครั้ง

No.*	Reference Profile	Measured Start-End Point (Profile)	Steady State Error**	2% Setting Time (Sec)
1 ccw	1.728 - -18.272	1.728 - -18.144	-0.128	0.49
2 cw	-18.144 - 1.856	-18.144 - 1.728	0.128	0.48
3 ccw	1.728 - -18.180	1.728 - -18.144	-0.036	0.5
4 cw	-18.144 - 1.856	-18.144 - 2.16	-0.304	0.47
5 ccw	1.872 - -18.128	1.872 - -18	-0.128	0.49

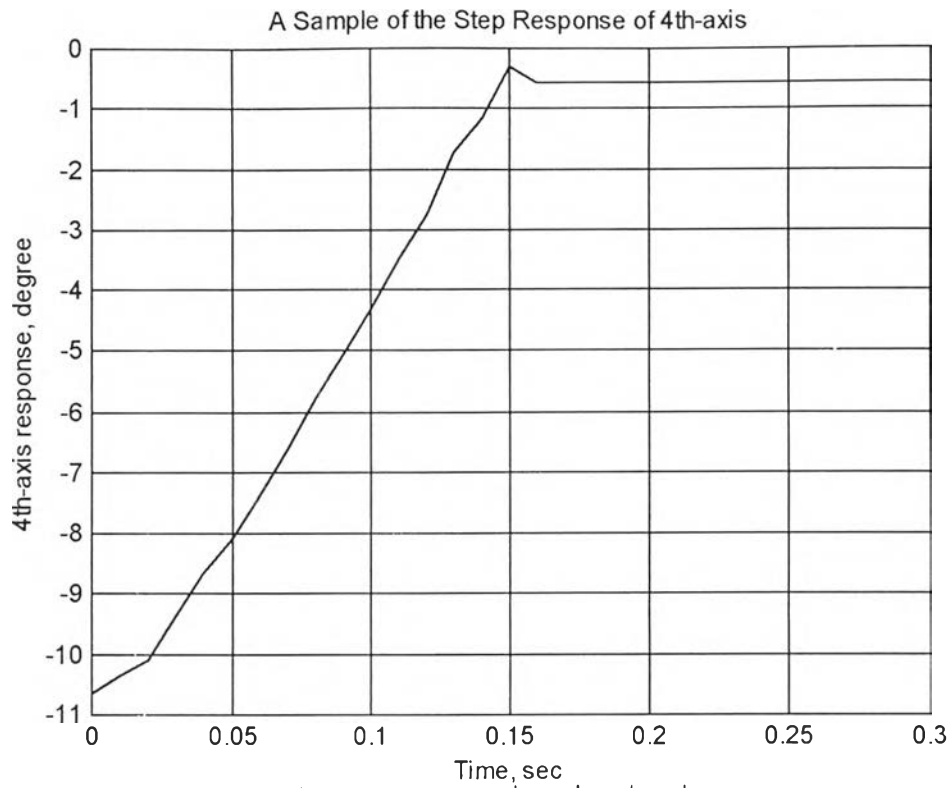
No.*	Reference Profile	Measured Start- End Point (Profile)	Steady State Error**	2% Setting Time (Sec)
6 cw	-18 - 2	-18 - 1.872	0.128	0.45
7 ccw	1.872 - -18.128	1.872 - -18	-0.128	0.5
8 cw	-18 - 2	-18 - 1.872	0.128	0.46
9 ccw	1.872 - -18.128	1.872 - -18.144	0.016	0.48
10 cw	-18.144 - 1.856	-18.144 - 1.728	0.128	0.47

(* ccw = counter clock-wise, cw = clock-wise)

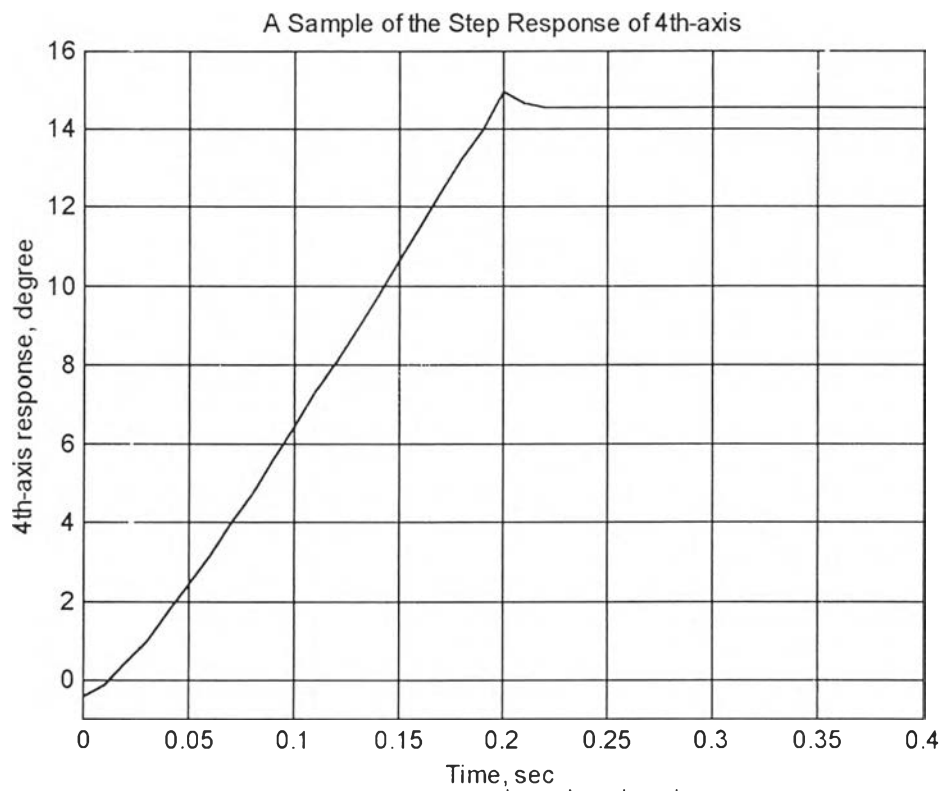
(** + = ccw direction, - = cw direction)



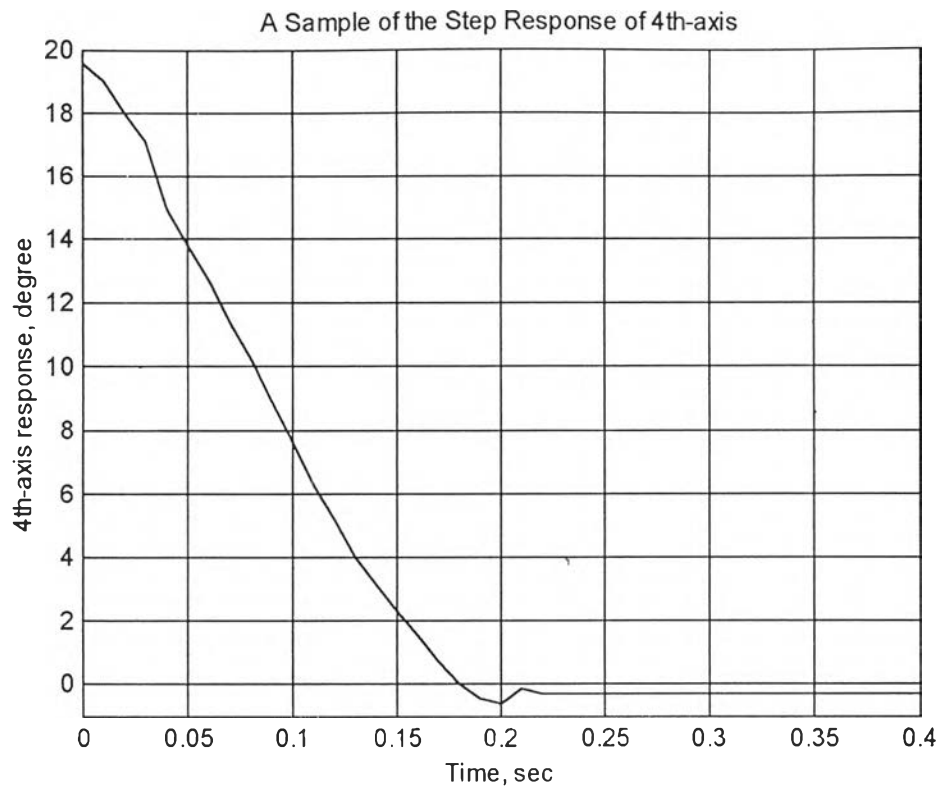
รูปที่ 5.15 แสดงตัวอย่างของ 4th-Axis response เมื่อคำสั่งเคลื่อนที่เท่ากับ 5 degree Forward



รูปที่ 5.16 แสดงตัวอย่างของ 4th-Axis response เมื่อคำสั่งเคลื่อนที่เท่ากับ 10 degree Forward



รูปที่ 5.17 แสดงตัวอย่างของ 4th-Axis response เมื่อคำสั่งเคลื่อนที่เท่ากับ 15 degree Forward



รูปที่ 5.18 แสดงตัวอย่างของ 4th-Axis response เมื่อคำสั่งเคลื่อนที่เท่ากับ 20 degree Reverse

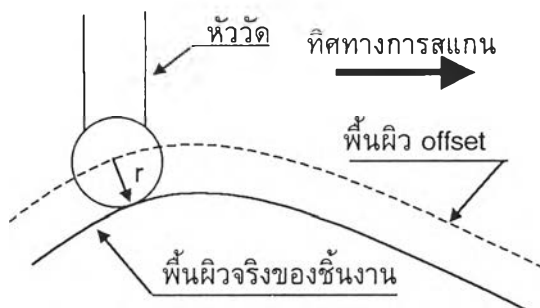
5.2 ผลเปรียบเทียบผลการวัดชิ้นงานกับเครื่อง CMM ที่ใช้ในอุตสาหกรรมจริง

ในตอนนี้เป็นผลการทดสอบการวัดชิ้นงานโดยใช้อุปกรณ์วัดพิกัด 3 มิติ แบบ 3 และ 4 แกน เปรียบเทียบกับผลการวัดที่ได้จากเครื่อง CMM ที่ใช้ในงานด้านอุตสาหกรรมซึ่งผลิตโดยบริษัท BROWN&SHARPE ผลการทดสอบแสดงได้ดังนี้

การเปรียบเทียบผลการวัด

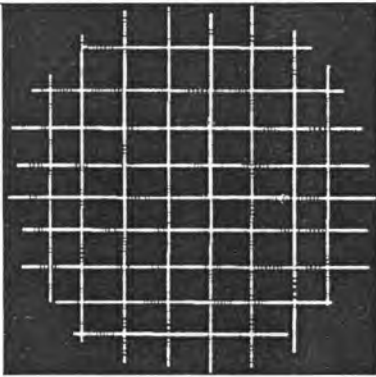
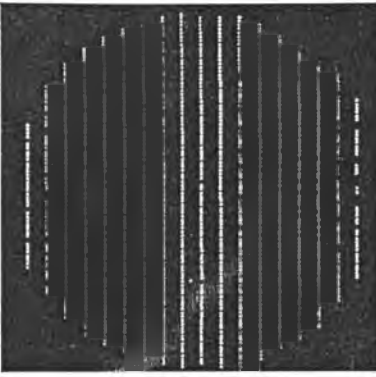

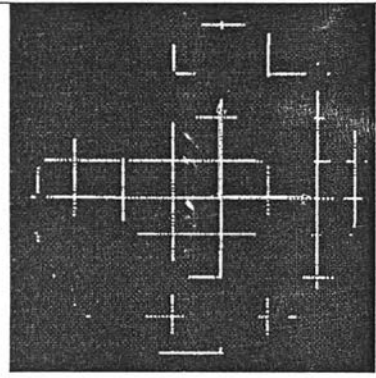

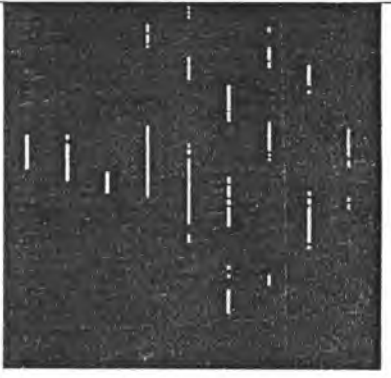
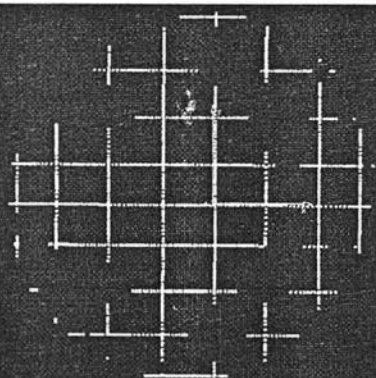
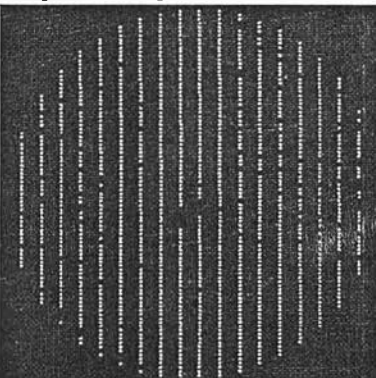
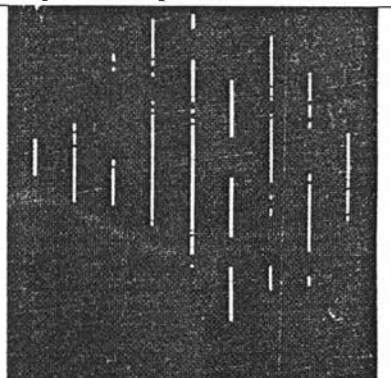
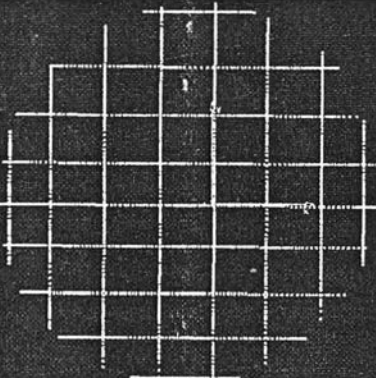
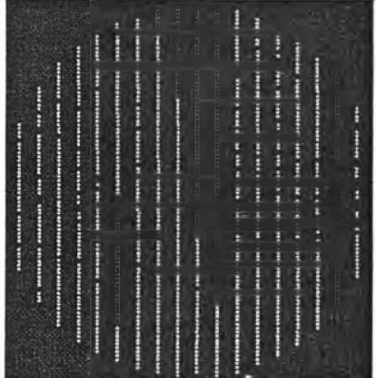
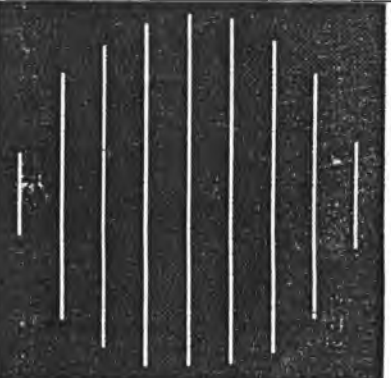
ในการเปรียบเทียบมีขั้นตอนดังนี้

1. สร้างต้นแบบจาก CAD
2. นำข้อมูลที่ได้จาก CAD ไปสร้างเป็นชิ้นงานโดยใช้เครื่อง CNC
3. นำชิ้นงานดังกล่าวมาทำการวัดด้วยอุปกรณ์วัดพิกัดที่ใช้ในวิทยานิพนธ์นี้ด้วยการทำงานแบบ 3 และ 4 แกน
4. นำผลที่วัดได้ไปเปรียบเทียบกับต้นแบบในคอมพิวเตอร์
5. นำชิ้นงานดังกล่าวไปวัดด้วยเครื่อง CMM ที่ใช้ในอุตสาหกรรมจริง
6. นำข้อมูลที่ได้จากข้อ 5 ไปเปรียบเทียบกับต้นแบบในคอมพิวเตอร์ สำหรับขั้นตอนนี้จะเปรียบเทียบข้อมูลที่ไต่กับพื้นผิว offset พิจารณารูปที่ 5.19 ประกอบ เนื่องจากการวัดด้วย CMM ของบริษัท BROWN&SHARPE ข้อมูลที่วัดได้เป็นโคออร์ดิเนตของจุดศูนย์กลางของหัววัดดังนั้นข้อมูลที่ได้จึงอยู่ห่างจากพื้นผิวจริงเท่ากับรัศมีของหัววัด r ในการทดสอบได้ใช้หัววัดที่ปลายของหัววัดเป็นทรงกลมรัศมี r เท่ากับ 3.1665 มิลลิเมตร
7. เปรียบเทียบผลที่ได้ในข้อ 4 และข้อ 6



รูปที่ 5.19 แสดงพื้นผิว offset

ผลการเปรียบเทียบแสดงในรูปที่ 5.20-5.21

CMM มาตรฐาน	โหนด 3 แกน	โหนด 4 แกน
		
ข้อมูลทั้งหมด	ข้อมูลทั้งหมด	ข้อมูลทั้งหมด
		
ข้อมูลส่วนที่อยู่ในช่วง 25 ไมครอน	ข้อมูลส่วนที่อยู่ในช่วง 25 ไมครอน	ข้อมูลส่วนที่อยู่ในช่วง 25 ไมครอน
		
ข้อมูลส่วนที่อยู่ในช่วง 50 ไมครอน	ข้อมูลส่วนที่อยู่ในช่วง 50 ไมครอน	ข้อมูลส่วนที่อยู่ในช่วง 50 ไมครอน
		
ข้อมูลที่อยู่ในช่วง 120 ไมครอน	ข้อมูลที่อยู่ในช่วง 120 ไมครอน	ข้อมูลที่อยู่ในช่วง 550 ไมครอน

รูปที่ 5.20 แสดงการเปรียบเทียบข้อมูลที่ได้จากการวัดด้วยโหนดการทำงานแบบ 3 และ 4 แกน เทียบกับเครื่อง CMM ที่ใช้ในอุตสาหกรรมจริง (ชิ้นงานรูปที่ 5.25ข))

รูปที่ 5.20 เป็นผลที่ได้จากการวัดด้วยเครื่องวัดพิภักที่ใช้งานวิทยานิพนธ์นี้ในโหมด 3 แกนและ 4 แกน เปรียบเทียบกับผลที่ได้จากเครื่อง CMM ที่ใช้ในอุตสาหกรรมจริงหรือ CMM มาตรฐาน ชั้นงานชั้นที่ 1 เป็นพื้นผิว Convex-like ขนาด 50×50 ลึกประมาณ 10 มิลลิเมตร ดังแสดงในรูปที่ 5.26ข) วัสดุที่ใช้สร้างเป็นอลูมิเนียม โดยผลการเปรียบเทียบที่เห็นในรูปเป็นการมองจากด้านบนหรือมองในระนาบ xy จากรูปที่ 5.20 แถวบนเป็นข้อมูลที่วัดได้ในทั้ง 3 กรณี แถวที่ 2 เป็นข้อมูลที่อยู่ห่างจากพื้นผิวดันแบบไม่เกิน ± 25 ไมครอน แถวที่ 3 เป็นข้อมูลที่อยู่ห่างจากพื้นผิวดันแบบไม่เกิน ± 50 ไมครอน ส่วนแถวที่ 4 เป็นข้อมูลโดยส่วนใหญ่ที่อยู่ห่างจากพื้นผิวดันแบบไม่เกินค่าที่เขียนไว้ที่ได้รูป ผลที่ได้จาก CMM มาตรฐานเมื่อเทียบกับผลที่ได้จากอุปกรณ์วัดพิภักที่ใช้ในโหมด 3 แกน ผลที่ได้จากอุปกรณ์ วัดพิภักในโหมด 3 แกนแสดงให้เห็นว่าชั้นงานมีพื้นผิวที่ใกล้เคียงกับดันแบบในคอมพิวเตอร์มากโดยข้อมูลส่วนใหญ่(ประมาณ 79 เปอร์เซ็นต์)อยู่ห่างจากพื้นผิวดันแบบไม่เกิน ± 25 ไมครอน ส่วนผลที่ได้จากเครื่อง CMM มาตรฐานแสดงว่ามีข้อมูลประมาณครึ่งหนึ่งหรือ 50 เปอร์เซ็นต์ซึ่งส่วนใหญ่เป็นข้อมูลบริเวณกลางและขอบของชั้นงานจะมีค่าอยู่ในช่วง ± 25 ไมครอน การที่ผลของ CMM มาตรฐานกับผลที่ได้จากอุปกรณ์วัดพิภักต่างกันนั้นสาเหตุประการหนึ่งคือลักษณะของการวัดและหัววัดที่ใช้ต่างกัน เครื่อง CMM มาตรฐานใช้หัววัดทรงกลมที่มีขนาดใหญ่สัมผัสกับพื้นผิวชั้นงานเทียบกับอุปกรณ์วัดพิภักที่ใช้หัววัดเลเซอร์ซึ่งขนาดเส้นผ่านศูนย์กลางของลำแสงที่ส่องกระทบพื้นผิวชั้นงานมีขนาดเท่ากับ 0.05 มิลลิเมตรเท่านั้น ขนาดของเส้นผ่านศูนย์กลางของลำแสงที่เล็กทำให้สามารถวัดพื้นผิวที่มีความขรุขระบนพื้นผิวชั้นงานได้ แต่หัววัดของเครื่อง CMM มาตรฐานมีขนาดใหญ่ จึงไม่สามารถวัดความขรุขระบนพื้นผิวชั้นงานที่มีขนาดเล็กกว่าขนาดของหัววัดมาก ๆ ได้ เปรียบเทียบผลที่ได้จากโหมด 3 และ 4 แกนจะเห็นว่าผลจาก 4 แกนที่อยู่ในช่วง ± 25 ไมครอน มีจำนวนน้อยกว่า ซึ่งสาเหตุที่จำนวนข้อมูลของแกนที่ 4 แสดงผลดังกล่าวเนื่องจากแกนที่ 4 มีแหล่งของความผิดพลาดมาจากการทำงานของแกนที่ 4 และการแปลงข้อมูลซึ่งสาเหตุของความผิดพลาดดังกล่าวจะได้กล่าวถึงในตอนต่อไป ในแถวสุดท้ายของรูปที่ 5.20 แสดงขอบเขตที่ข้อมูลส่วนใหญ่อยู่ภายในขอบเขตนี้ สำหรับ CMM มาตรฐาน ขอบเขตดังกล่าวมีค่าเท่ากับ 120 ไมครอน ส่วนอุปกรณ์วัดพิภักที่ใช้ในวิทยานิพนธ์นี้ในโหมด 3 แกน มีค่าเท่ากับ 120 ไมครอน ในโหมด 4 แกนมีค่าเท่ากับ 550 ไมครอน

รูปที่ 5.21 เป็นผลการเปรียบเทียบของชั้นงานชั้นที่ 2 ซึ่งเป็นระนาบโค้งจากขอบ 2 ด้านไปชนกันตรงกลางชั้นงาน ขนาดของพื้นผิวเท่ากับ 150×150 มิลลิเมตร มีความสูง 5 มิลลิเมตร แสดงในรูปที่ 5.26ก) รูปแสดงผลการเปรียบเทียบใช้รูปแบบเดียวกับชั้นงานชั้นที่ 1 จากรูปที่ 5.21 ข้อมูลที่ได้จากเครื่อง CMM มาตรฐานมีความแตกต่างจากผลที่ได้จากอุปกรณ์วัดพิภักแบบ 3 และ 4 แกนอย่างชัดเจนแต่ผลจากในกรณี 3 และ 4 แกนให้ผลที่ใกล้เคียงกันมากกว่าเนื่องจากชั้นงานเป็นชั้นงานที่มีความชันน้อยผลการทำงานของแกนที่ 4 จึงมีการปรับตัวน้อยในขณะที่ทำงานความผิดพลาดในการแปลงข้อมูลซึ่งจะได้กล่าวต่อไปจึงมีค่าน้อยตามไปด้วย แต่การที่ผลของ CMM ต่างจากผลของเครื่องวัดมากนั้นอาจเป็นผลมาจากลักษณะของหัววัดที่ใช้ดังได้กล่าวในข้างต้นแล้ว

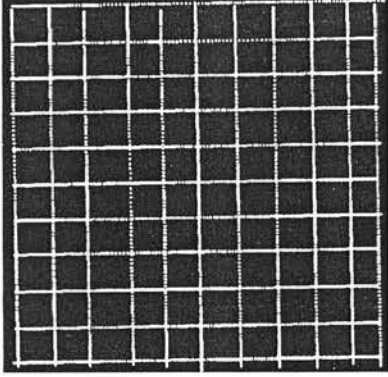
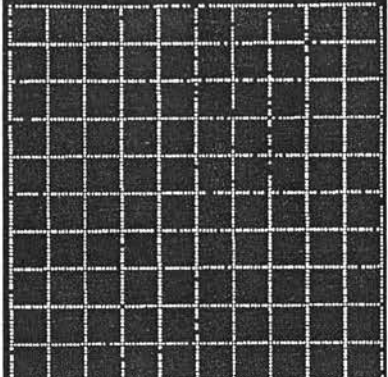
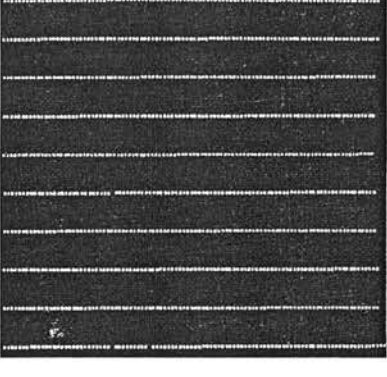
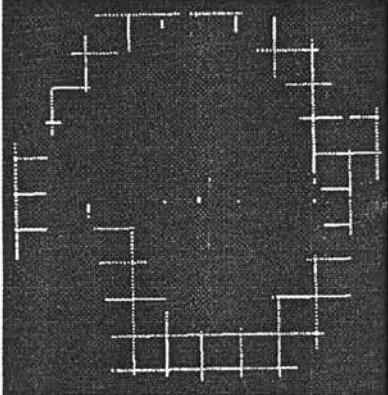
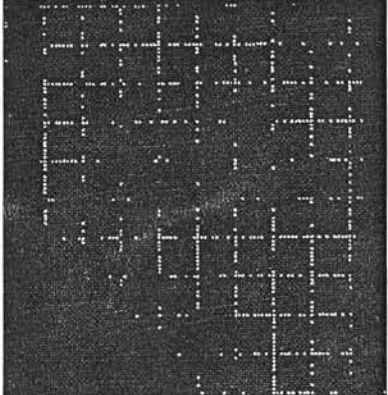

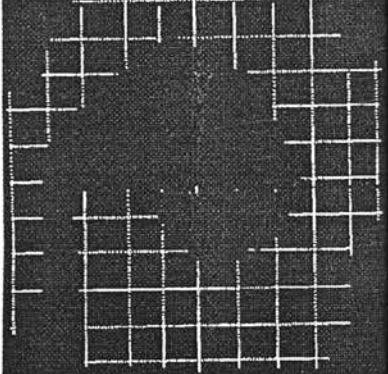
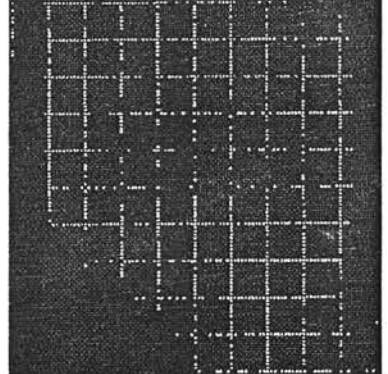

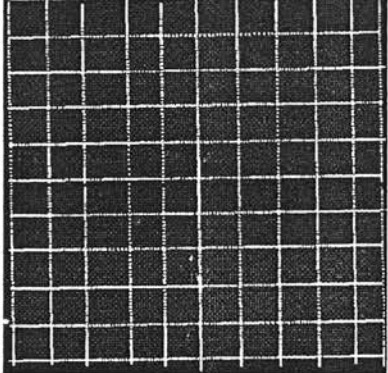
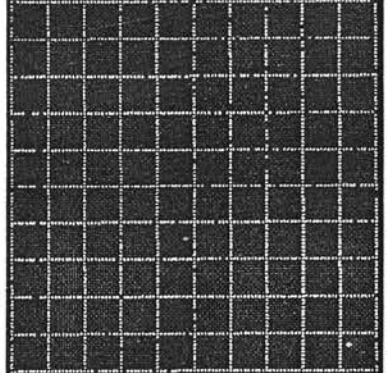
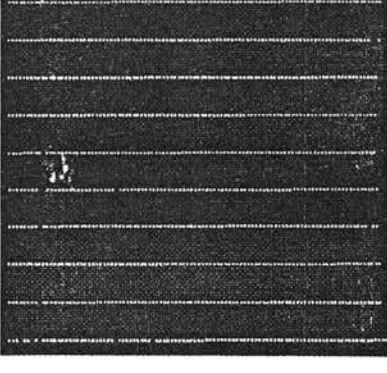
ในรูปที่ 5.22 เป็นผลการเปรียบเทียบของชั้นงานชั้นที่ 3 แสดงในรูปที่ 5.26ง) เป็นชั้นงานรูปหุ้ฟง โทศัพท์ วิธีการเปรียบเทียบจะแตกต่างจากชั้นงาน 2 ชั้นข้างต้น เนื่องจากชั้นงานชั้นที่ 3 ไม่มีดันแบบใน

คอมพิวเตอร์จึงไม่สามารถนำข้อมูลที่ได้อามาทำการเปรียบเทียบกับต้นแบบในคอมพิวเตอร์ได้ วิธีการเปรียบเทียบที่ทำในวิทยานิพนธ์นี้มีขั้นตอนดังนี้

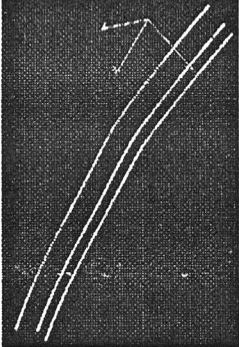
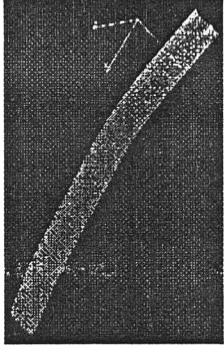
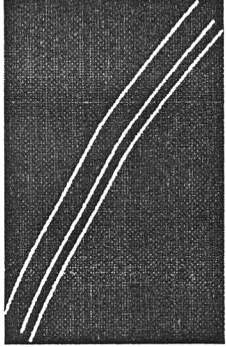
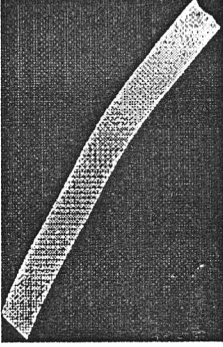
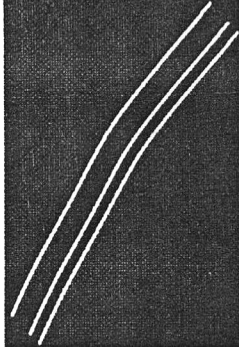
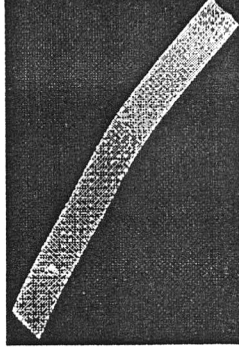
1. ทำการวัดชิ้นงานด้วยอุปกรณ์วัดที่ใช้ในวิทยานิพนธ์นี้ด้วยโหมด 3 แกน
2. ทำการวัดชิ้นงานด้วยอุปกรณ์วัดที่ใช้ในวิทยานิพนธ์นี้ด้วยโหมด 4 แกน
3. ทำการวัดชิ้นงานด้วยเครื่อง CMM มาตรฐาน
4. นำข้อมูลที่ได้จากข้อ 1, 2 และ 3 ถ่ายโอนเข้าสู่โปรแกรม CATIA
5. สร้างพื้นผิวจากจุดข้อมูลในข้อ 1, 2 ,3 ที่ได้ถ่ายโอนไปยังโปรแกรม CATIA เรียบร้อยแล้ว
6. เปรียบเทียบข้อมูลที่ได้จากข้อ 1 กับข้อ 2 และข้อมูลที่ได้จากข้อ 1 กับข้อ 3 ดังในแถวที่ 2 ของรูปที่ 5.22

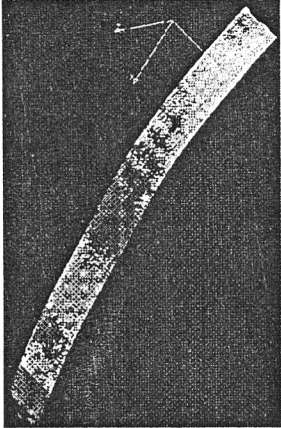
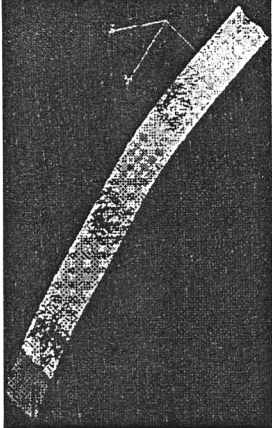
ในรูปที่ 5.22 เป็นรูปที่มองข้อมูลใน 3 มิติ จากผลที่ได้ปรากฏว่าพื้นผิวที่สร้างจากข้อมูลของอุปกรณ์ที่ใช้ในงานวิทยานิพนธ์ในโหมด 3 แกนและ 4 แกนให้ผลที่ไม่เหมือนกันโดยพื้นผิวที่ได้จากโหมด 3 แกนจะมีส่วนที่ต่ำกว่าพื้นผิวจาก CMM มาตรฐานมากกว่าโหมด 4 แกน

ในตอนต่อไปเป็นการกล่าวถึงความไม่ต่อเนื่องในการวัดชิ้นงานด้วยโหมด 4 แกนและพิจารณา profile ของชิ้นงานชั้นที่ 3 เพื่อที่จะดูความแตกต่างกันของข้อมูลที่ได้จาก 3 แกนและ 4 แกนในระนาบ 2 มิติและแสดงให้เห็นถึงลักษณะของข้อมูลที่ได้จากแกนที่ 4 ว่ามีความไม่ต่อเนื่องอยู่ด้วย

CMM มาตรฐาน	โหมด 3 แกน	โหมด 4 แกน
		
ข้อมูลทั้งหมด	ข้อมูลทั้งหมด	ข้อมูลทั้งหมด
		
ข้อมูลส่วนที่อยู่ในช่วง 25 ไมครอน	ข้อมูลส่วนที่อยู่ในช่วง 25 ไมครอน	ข้อมูลส่วนที่อยู่ในช่วง 25 ไมครอน
		
ข้อมูลส่วนที่อยู่ในช่วง 50 ไมครอน	ข้อมูลส่วนที่อยู่ในช่วง 50 ไมครอน	ข้อมูลส่วนที่อยู่ในช่วง 50 ไมครอน
		
ข้อมูลที่อยู่ในช่วง 170 ไมครอน	ข้อมูลที่อยู่ในช่วง 400 ไมครอน	ข้อมูลที่อยู่ในช่วง 390 ไมครอน

รูป ที่ 5.21 แสดงการเปรียบเทียบข้อมูลที่ได้จากการวัดด้วยโหมดการทำงานแบบ 3 และ 4 แกน เทียบกับ เครื่อง CMM ที่ใช้ในอุตสาหกรรมจริง(ชิ้นงานรูปที่ 5.25ก))

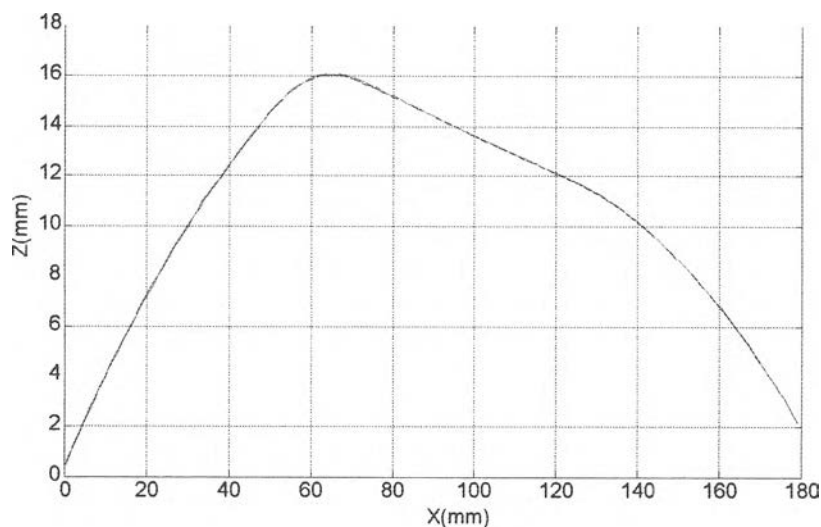
					
<p>1. ข้อมูลที่ได้จาก CMM มาตรฐาน(ซ้าย) พื้นผิวที่สร้างจากข้อมูล(ขวา)</p>		<p>2. ข้อมูลที่ได้จากอุปกรณ์วัดพิกัด โหมด 3 แกน (ซ้าย)และพื้นผิวที่สร้างจากข้อมูล(ขวา)</p>		<p>3. ข้อมูลที่ได้จากอุปกรณ์วัดพิกัด โหมด 4 แกน (ซ้าย)และพื้นผิวที่สร้างจากข้อมูล(ขวา)</p>	

	
<p>ความแตกต่างระหว่างพื้นผิวที่สร้างในรูปที่ 1 และ 2 ข้างบน, ระยะทางที่ห่างกันมากที่สุด = 0.5 mm</p>	<p>ความแตกต่างระหว่างพื้นผิวที่สร้างในรูปที่ 1 และ 3 ข้างบน, ระยะทางที่ห่างกันมากที่สุด = 0.7 mm</p>

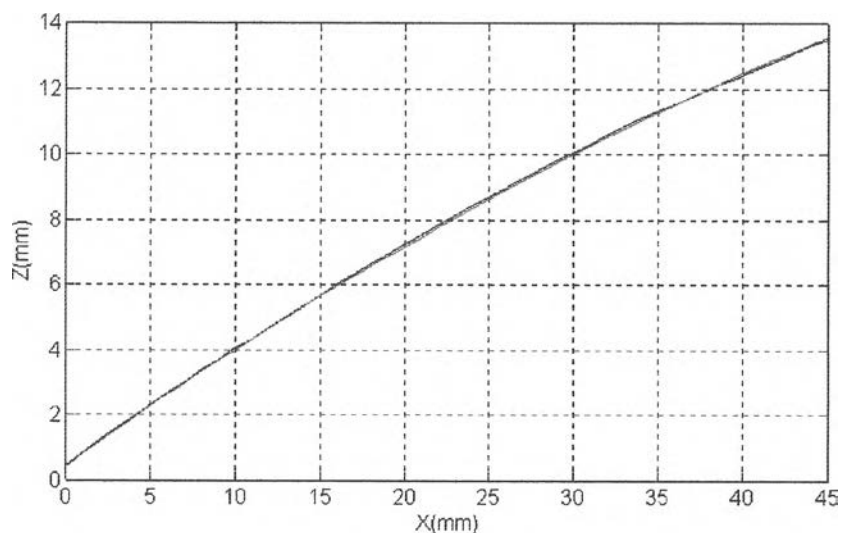
รูปที่ 5.22 การเปรียบเทียบข้อมูลที่ได้จากการวัดด้วยโหมดการทำงานแบบ 3 และ 4 แกน เทียบกับผลจาก CMM ที่ใช้ในอุตสาหกรรมจริง(ชิ้นงานรูปที่ 5.25ง)

5.3 การเปรียบเทียบ Profile ของหุฟงโทรศัพท์ที่ได้จากโหมด 3 และ 4 แกน และความไม่ต่อเนื่องของข้อมูลจากโหมด 4 แกน

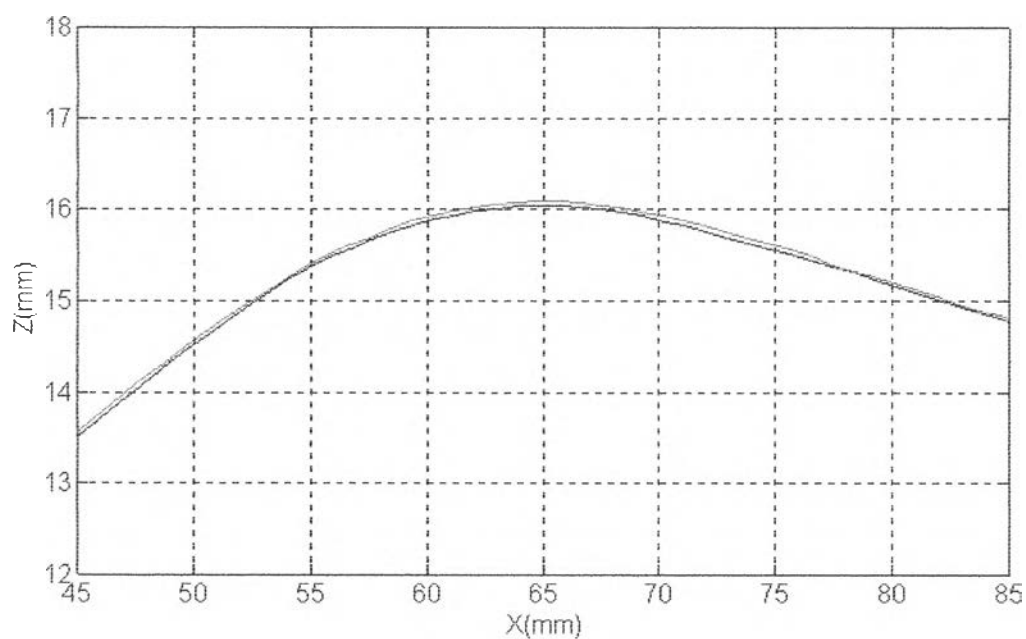
ผลการเปรียบเทียบแสดงในรูปที่ 5.23 ในรูปที่ 5.23ก) ข้อมูลที่แทนด้วยเส้นทึบเป็นข้อมูลที่ได้จากการใช้แกนที่ 4 ส่วนข้อมูลที่แทนด้วยเส้นทึบสีน้ำเงินและจุดสีแดงเป็นข้อมูลที่ไม่ได้ใช้แกนที่ 4 จะเห็นว่าข้อมูลทั้ง 2 มีความใกล้เคียงกันมากแต่ก็มีความแตกต่างกันอยู่ในบริเวณ $X=0-45$ มิลลิเมตร ซึ่งเนื่องจากความชันของพื้นผิวมีค่ามากผลที่ได้ทั้ง 2 จึงมีค่าที่แตกต่างกันมาก ส่วนในบริเวณ $X = 45-85$ มิลลิเมตรนั้นที่มีความแตกต่างกันมากทั้งที่มีความชันไม่มากเนื่องมาจากการปรับหัวของอุปกรณ์วัดในบริเวณดังกล่าวยังใช้มุมมุมเดียวกันกับมุมที่ใช้ในข้อมูลบริเวณที่มีความชันมากอยู่ (เนื่องจากการปรับองศาของหัววัดจะกระทำทุกๆ ข้อมูล 11 จุด) จึงทำให้มุมของแสงเลเซอร์ที่ตกกระทบทำมุมห่างจากค่า 90 องศาบางส่วนในบริเวณ $X = 85-200$ มิลลิเมตร เป็นบริเวณที่ชิ้นงานมีความลาดชันน้อยดังนั้นข้อมูลที่ได้จึงใกล้เคียงกันมาก



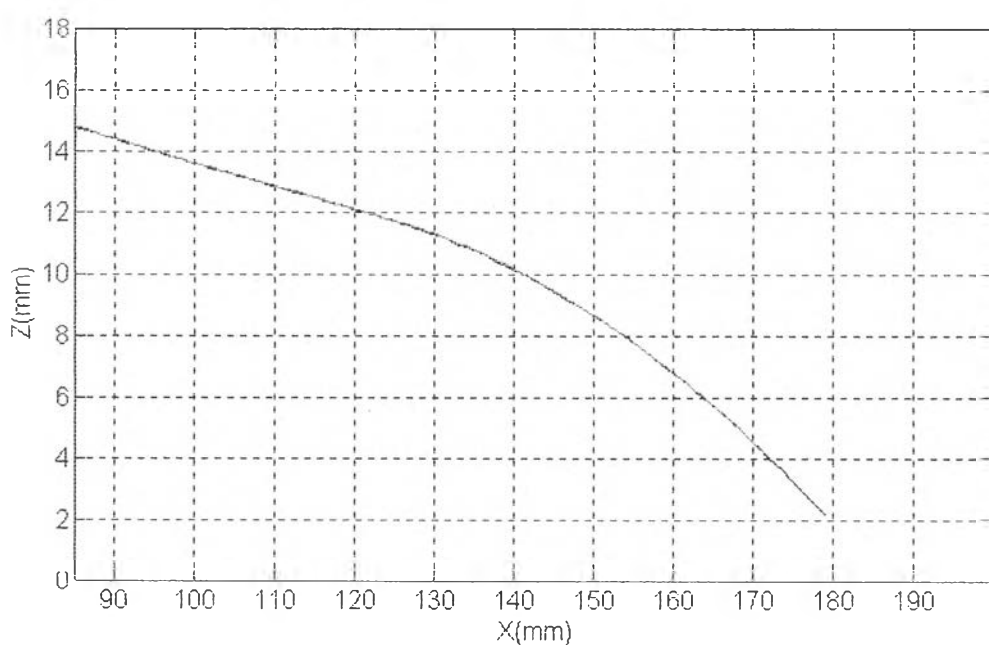
ก)



ข)



ค)

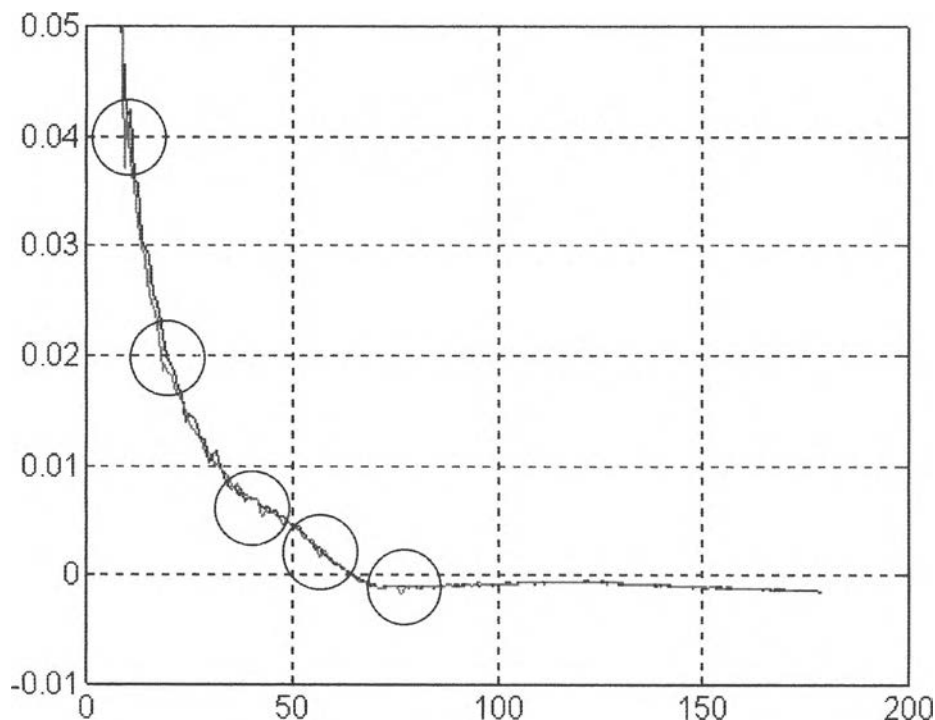


ง)

รูปที่ 5.23 แสดงข้อมูลที่ได้จากพื้นผิวมือถือโทรศัพท์

- ก) เป็นข้อมูลที่ได้เส้นทึบแทนข้อมูลที่ได้เมื่อใช้แกนที่ 4 ช่วยในการปรับองศาของหัววัดส่วนข้อมูลที่แทนด้วยเส้นทึบและจุดเป็นข้อมูลที่ไม่ได้ใช้แกนที่ 4
- ข) เป็นภาพขยายของบริเวณ $X=0-45$ มิลลิเมตร
- ค) เป็นภาพขยายของบริเวณ $X=45-85$ มิลลิเมตร
- ง) เป็นภาพขยายของบริเวณ $X=85-200$ มิลลิเมตร

แล้วจึงค่อยๆ ลดลงมาจนต่ำกว่า 0 นอกจากนี้ความชันในช่วงแรกๆ ยังมีการลดลงอย่างรวดเร็วกว่าในช่วงถัดมา ซึ่งเมื่อถึงในช่วงท้ายความชันมีการเปลี่ยนแปลงน้อยมาก และ กราฟความชันของข้อมูลที่ได้จากการใช้แกนที่ 4 ยังมีลักษณะที่ไม่ต่อเนื่องเป็นช่วงๆ แสดงอยู่ในวงกลมในรูป ความไม่ต่อเนื่องดังกล่าวเกิดขึ้นเนื่องมาจากการปรับตัวขององศาของหัววัด ขนาดของความไม่ต่อเนื่องของความชันจะมีขนาดขึ้นอยู่กับ การเปลี่ยนแปลงความชันหากมีการเปลี่ยนแปลงความชันมากขนาดของความไม่ต่อเนื่องก็จะมีมาก

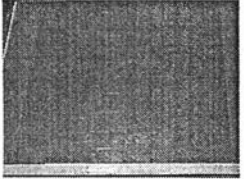
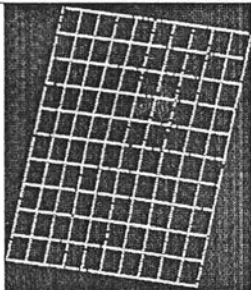
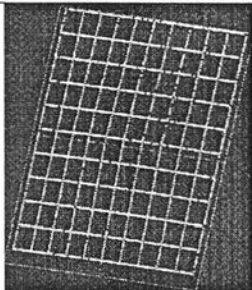
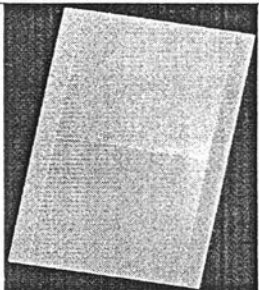


รูปที่ 5.24 แสดงความชันของพื้นผิวชิ้นงานโทรศัพท์ เส้นสีน้ำเงินแทนข้อมูลที่ได้จากการสแกนด้วย 3 แกน ส่วนสีแดงเป็นเส้นที่ได้จากการสแกนด้วย 4 แกน

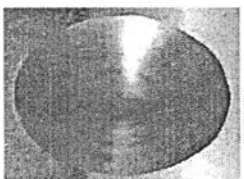
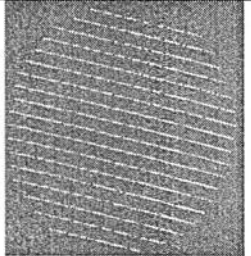
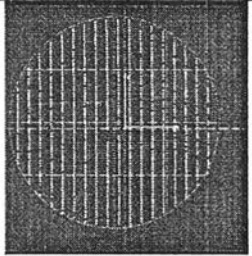
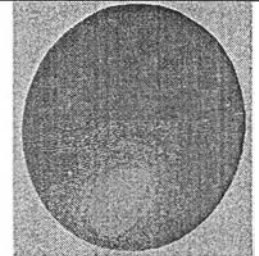
จากผลการทดสอบจะเป็นว่าการทำงานด้วยแกนที่ 3 จะมีความถูกต้องสูงกว่าการทำงานในกรณี 4 แกนซึ่งเป็นผลเนื่องจากการเพิ่มแกนที่ 4 และการทำงานของแกนที่ 4 แต่จะเห็นว่าข้อดีในกรณีที่สามารเก็บข้อมูลของพื้นผิวที่มีความชันมากๆ ได้และพื้นผิวที่ซับซ้อนมากๆ ก็สามารถวัดได้ ลักษณะของความผิดพลาดจะเปลี่ยนแปลงตามความชันและการเปลี่ยนแปลงความชันหมายความว่า หากชิ้นงานมีการเปลี่ยนความชันจากความชันน้อยไปเป็นความชันมากบริเวณที่มีการเปลี่ยนแปลงก็จะเกิดความไม่ต่อเนื่องของข้อมูลและยังมีการหักมุมของพื้นผิวความไม่ต่อเนื่องก็จะมีขนาดมากขึ้นด้วยส่วนในการทำงานแบบ 3 แกนจะให้ความถูกต้องมากในกรณีที่พื้นผิวมีความลาดชันไม่มากเกินไป นอกจากนี้ถึงแม้การทำงานแบบ 3 แกนจะให้ความถูกต้องแต่ก็มีข้อจำกัดในเรื่องที่ไม่สามารถวัดพื้นผิวได้ในบางกรณี ดังนั้นการจะใช้การสแกนแบบ 3 หรือ 4 แกนนั้นต้องพิจารณาให้เหมาะสมกับงานด้วย

5.4 ชิ้นงานที่ได้ทำการวัดในวิทยานิพนธ์บางส่วน


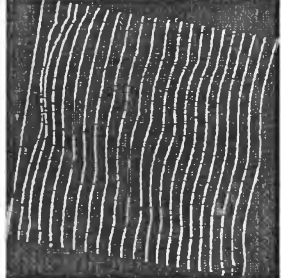
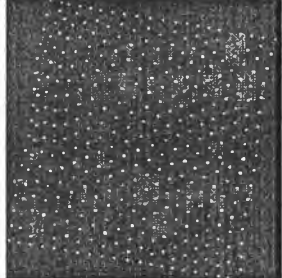
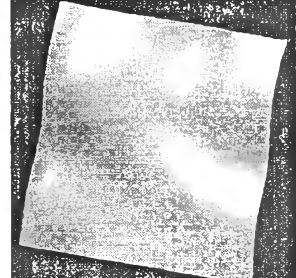
รูปข้างล่างต่อไปนี้เป็นชิ้นงานที่ได้ทำการวัดบางส่วน

			
Object convex-like	Data-point from CMM	Data-point from our CMM	Regenerated Surface

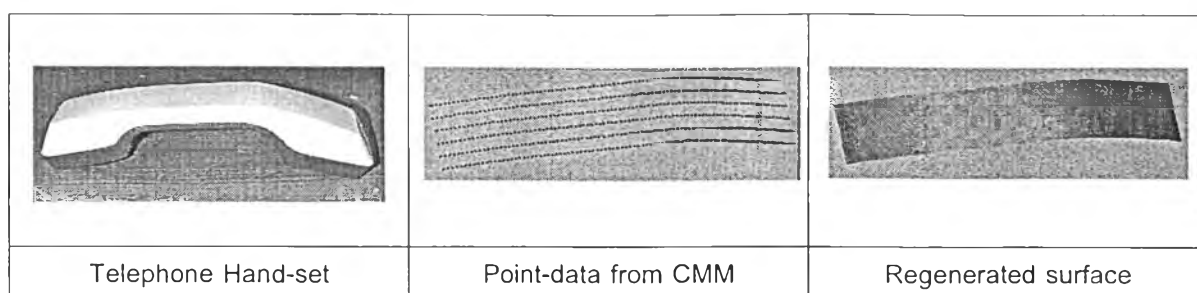
ก)

			
Object concave-like	Data-point from CMM	Points within the specified accuracy	Regenerated Surface

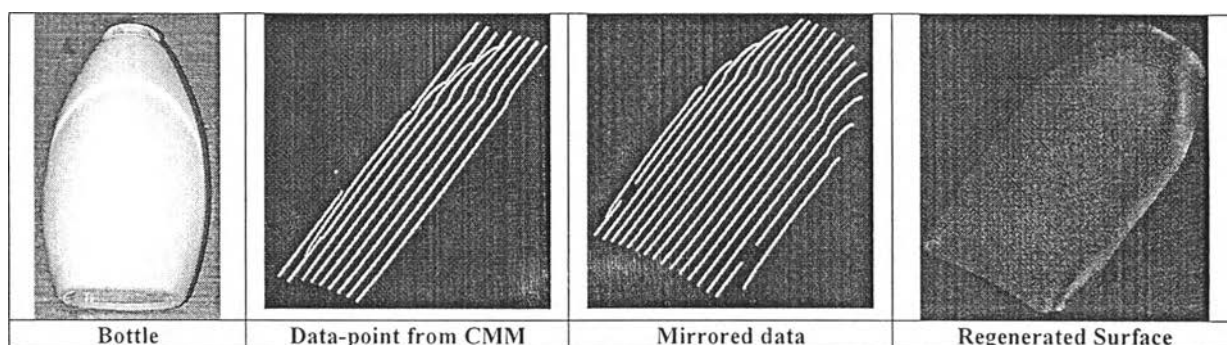
ข)

			
Object tooth surface	Data-point from CMM	After Pre-filter	Regenerated Surface

ค)



ง)



จ)

รูปที่ 5.25 แสดงชิ้นงานที่ได้ทำการวัด

ในหัวข้อนี้เป็นการรวบรวมรูปของข้อมูลที่ได้จากการวัดด้วยอุปกรณ์วัดพิคกิ้งที่ใช้ในวิทยานิพนธ์นี้ บางรูปได้อ้างอิงถึงในตอนต้นไปแล้ว แต่บางรูปจะนำมากล่าวในหัวข้อนี้ รูปที่แสดงถึงจุดข้อมูลเป็นรูปที่นำมาจากหน้าจอของโปรแกรม CATIA โดยตรง ต่อไปจะขออธิบายไปที่ละรูปดังนี้

รูปที่ 5.25ก) เป็นชิ้นงานที่อ้างถึงแล้วในตอนต้น ในส่วนที่เกี่ยวกับการเปรียบเทียบผลการวัดกับเครื่อง CMM ที่ใช้ในอุตสาหกรรมจริง รูปแรกทางด้านซ้ายของผู้อ่านเป็นภาพที่ถ่ายจากชิ้นงานจริง รูปต่อมาเป็นข้อมูลที่ไดสแกนเข้าสู่โปรแกรม CATIA รูปที่ 3 เป็นรูปของจุดข้อมูลที่อยู่ในช่วง ± 25 ไมครอน รูปสุดท้ายเป็นพื้นผิวที่ได้จากการ Regenerated จากข้อมูล

รูปที่ 5.25ข) เป็นชิ้นงานที่อ้างถึงแล้วเช่นเดียวกัน เป็นชิ้นงานที่มีพื้นผิวแบบเว้าเข้า

รูปที่ 5.25ค) เป็นชิ้นงานที่มีพื้นผิวซับซ้อนมากขึ้น เป็นลักษณะของฟันกรามของคน ส่วนที่ทำการวัดคือบริเวณพื้นผิวด้านบนของฟันซี่นี้ ในการ Regenerated ชิ้นงานนี้จะทำการปรับปรุงข้อมูลที่ได้จากอุปกรณ์วัดพิคกิ้งเสียก่อนด้วยการใช้ตัวกรอง(filter)กรองความไม่เป็นระเบียบในข้อมูลออก และทำการ Sampling ข้อมูลที่มีมากเกินไปให้น้อยลงเพื่อที่จะง่ายต่อการสร้างพื้นผิวและไม่ทำให้พื้นผิวที่สร้างมีความซับซ้อนเพราะมีข้อมูลมากเกินไป

รูปที่ 5.25ง) เป็นชิ้นงานที่อ้างถึงแล้ว เป็นหูฟังโทรศัพท์ ได้ทำการวัดพื้นผิวด้านบนของชิ้นงาน

รูปที่ 5.25จ) เป็นข้อมูลที่ได้จากกระป๋องแป้งยี่ห้อหนึ่งทำการวัดพื้นผิวด้านเดียว และวัดเพียงครึ่งเดียวดังแสดงในรูปแรกหลังจากนั้นจะทำการปรับปรุงข้อมูลโดยการตัดข้อมูลที่อยู่ห่างจากข้อมูลมากๆ ออกไป

แล้ว Mirror ข้อมูลให้ได้ข้อมูลที่แทนพื้นผิวของกระป๋องแบ่งด้านเดียว จากนั้นจึงทำการสร้างพื้นผิวด้วยฟังก์ชันใน CATIA ดังแสดงในสุดท้าย